

## МГД-ВОЛНЫ И НЕУСТОЙЧИВОСТИ В ДВУХКОМПОНЕНТНОЙ АНИЗОТРОПНОЙ ПЛАЗМЕ

© 2019 г. Н. С. Джалилов<sup>а</sup>, С. Ш. Гусейнов<sup>а,\*</sup>

<sup>а</sup> Шамахинская астрофизическая обсерватория НАН Азербайджана, Пиркули, Шемахи, Азербайджан

\*e-mail: sedi-huseynov@mail.ru

Поступила в редакцию 22.10.2018 г.

После доработки 17.12.2018 г.

Принята к публикации 20.12.2018 г.

На основе 16-моментных МГД-уравнений переноса рассмотрено распространение линейных волн в анизотропной однородной космической плазме. Получено общее дисперсионное уравнение с учетом двух компонентов плазмы (электроны и протоны) и теплового потока вдоль магнитного поля. Полученное дисперсионное уравнение является обобщением ранее исследованных случаев, когда плазма являлась ионной. Более подробно анализирован случай, когда эффекты, связанные с тепловым потоком игнорируются. В пределе продольного распространения дана классификация волновых мод, которые полностью соответствуют известным модам из низкочастотной кинетической физики бесстолкновительной плазмы. Проанализированы шланговые и зеркальные неустойчивости. Показано, что учет электронов меняет инкременты и условия возникновения неустойчивостей.

DOI: 10.1134/S0367292119060040

### 1. ВВЕДЕНИЕ

В связи с тем, что измеряемые параметры сильноразреженной космической замагниченной плазмы (например, солнечный и звездные ветры, короны звезд, звездные диски, ионосфера и магнитосферы планет, межзвездная среда) являются макроскопическими, то МГД-описание такой плазмы является более уместным. Вывод замкнутых МГД-уравнений для бесстолкновительной плазмы имеет свои трудности. Основная трудность связана с прерыванием цепочек бесконечных уравнений для моментов функций распределения. Это требует дополнительного физического обоснования, а также конкретного вида функций распределения частиц по скоростям. Классическими примерами таких уравнений, описывающих плазму как жидкость, являются ЧГЛ [1] и 16-ти моментные уравнения переноса [2, 3], выведенные для би-максвелловской плазмы при нулевом радиусе ларморовского вращения. Главным преимуществом 16-ти моментных МГД-уравнений переноса по сравнению с ЧГЛ-уравнениями является то, что эти уравнения учитывают тепловой поток вдоль магнитного поля. В отличие от ЧГЛ-уравнений 16-моментные уравнения дают правильное выражение критерия возникновения зеркальной неустойчивости, совпадающее с низкочастотным кинетическим результатом [4, 5]. МГД-описание плазмы по

сравнению с кинетикой имеет существенный недостаток, заключающийся в том, что рассматриваются малые волновые числа,  $k < \omega_{pp}/c$  ( $\omega_{pp}$  — протонная плазменная частота,  $c$  — скорость света). В ряде работ были выполнены оценки модификаций МГД-неустойчивостей при учете конечной длины ларморовского радиуса (см., например, [6, 7]).

В предыдущих работах мы развивали теорию МГД-неустойчивостей на основе 16-моментных уравнений [4, 5, 8, 9]. В этих работах результаты были получены для ионной плазмы. Роль электронов сводилась только к поддержанию квазинейтральности плазмы. Строго говоря, игнорирование вкладов электронной компоненты плазмы требует условие  $T_e \ll T_p$ , которое в реальности встречается очень редко. Здесь мы обобщаем теорию линейных МГД-неустойчивостей с учетом электронной компоненты и ее анизотропии, исследуются пороги шланговых и зеркальной неустойчивостей в электронно-протонной анизотропной плазме.

### 2. МГД-УРАВНЕНИЯ ПЕРЕНОСА В АНИЗОТРОПНОЙ ПЛАЗМЕ

Для кинетического описания динамических явлений в плазме, состоящей из электронов и ионов, обычно применяются эволюционные

уравнения функций распределения  $f_\alpha(\mathbf{u}; \mathbf{r}; t)$  каждого сорта  $\alpha = \{e, i\}$  частиц – уравнения Больцмана–Власова. Если учитывается влияние электромагнитного поля, то к этим уравнениям добавляются уравнения Максвелла. Интересующие нас макроскопические параметры плазмы (плотность, макроскопическая скорость течения, давления, тепловой поток) определяются как интегральные моменты функций распределения в трехмерном пространстве микроскопических скоростей  $\mathbf{u}$ . В движущейся системе отсчета эти моменты представляются как

$$\begin{aligned} n &= \int f(\mathbf{u}; \mathbf{r}; t) d^3 \mathbf{u}, \quad n\mathbf{v} = \int \mathbf{u} f(\mathbf{u}; \mathbf{r}; t) d^3 \mathbf{u}, \\ p &= m \int |\mathbf{u} - \mathbf{v}|^2 f(\mathbf{u}; \mathbf{r}; t) d^3 \mathbf{u}, \\ p_{\parallel} &= m \int [(\mathbf{u} - \mathbf{v}) \cdot \mathbf{b}]^2 f(\mathbf{u}; \mathbf{r}; t) d^3 \mathbf{u}, \\ S_{\parallel} &= (m/2) \int [(\mathbf{u} - \mathbf{v}) \cdot \mathbf{b}]^3 f(\mathbf{u}; \mathbf{r}; t) d^3 \mathbf{u}, \\ S_B &= (m/2) \int [(\mathbf{u} - \mathbf{v}) \cdot \mathbf{b}] |\mathbf{u} - \mathbf{v}|^2 f(\mathbf{u}; \mathbf{r}; t) d^3 \mathbf{u}, \end{aligned}$$

где  $\mathbf{b}$  – единичный вектор вдоль магнитного поля, среднее полное давление  $p = (2p_{\perp} + p_{\parallel})/3$  определяется поперечными  $p_{\perp}$  и продольными  $p_{\parallel}$  давлениями, полный продольный поток тепла  $S_B = S_{\perp} + S_{\parallel}$  определяется как сумма продольных потоков тепла, вызванных поперечными ( $S_{\perp}$ ) и продольными ( $S_{\parallel}$ ) тепловыми движениями.

Количество этих интегральных моментов может быть сколь угодно большим, и они все выражаются друг через друга. Цепочка уравнений, описывающих эти моменты (уравнения переноса), также может быть бесконечной. Требуется дополнительные физические обоснованные условия разрыва цепочки уравнений. В случае плотной плазмы, когда функции распределения частиц равновесной столкновительной плазмы близки к максвелловской, эти цепочки уравнений легко прерываются. В результате получаются обычные МГД-уравнения для изотропной плазмы. Однако в случае редких столкновений и в присутствии сильного магнитного поля функции распределения частиц не описываются максвелловским распределением, и возникает трудность прерывания цепочки моментных уравнений для неравновесной плазмы. В этом случае решение кинетического уравнения для каждого сорта частиц обычно ищется в виде разложения вокруг заданной функции распределения с анизотропными температурами относительно направления внешнего магнитного поля. Если эту функцию считать би-максвелловской функцией (простейший вид для анизотропной плазмы), то при очень малых ларморовских радиусах обращения частиц вокруг силовых линий магнитного поля ( $r_B \rightarrow 0$ )

получается система 16-ти моментных уравнений [2, 3]. В общепринятых обозначениях эти уравнения представляются как

$$\frac{d\rho_\alpha}{dt} + \rho_\alpha \nabla \cdot \mathbf{v} = 0, \quad (1)$$

$$\begin{aligned} \rho \frac{d\mathbf{v}}{dt} + \frac{1}{4\pi} \mathbf{B} \times (\nabla \times \mathbf{B}) + \\ + \sum_{\alpha} \left[ \nabla p_{\alpha\perp} + (\mathbf{B} \cdot \nabla) \left( \frac{p_{\alpha\parallel} - p_{\alpha\perp}}{B^2} \mathbf{B} \right) \right] = 0, \end{aligned} \quad (2)$$

$$\begin{aligned} B p_{\alpha\parallel} \frac{d}{dt} \ln \left( \frac{B^2 p_{\alpha\parallel}}{n^3} \right) + \mathbf{B} \cdot \nabla S_{\alpha\parallel} + \\ + 2 \left( S_{\alpha\perp} - \frac{1}{2} S_{\alpha\parallel} \right) \mathbf{B} \cdot \nabla \ln B = 0, \end{aligned} \quad (3)$$

$$B p_{\alpha\perp} \frac{d}{dt} \ln \left( \frac{p_{\alpha\perp}}{Bn} \right) + \mathbf{B} \cdot \nabla S_{\alpha\perp} - 2 S_{\alpha\perp} \mathbf{B} \cdot \nabla \ln B = 0, \quad (4)$$

$$B S_{\alpha\parallel} \frac{d}{dt} \ln \left( \frac{B^3 S_{\alpha\parallel}}{2n^4} \right) + \frac{3 p_{\alpha\parallel}}{m_\alpha} \mathbf{B} \cdot \nabla \left( \frac{p_{\alpha\parallel}}{n} \right) = 0, \quad (5)$$

$$\begin{aligned} B S_{\alpha\perp} \frac{d}{dt} \ln \left( \frac{S_{\alpha\perp}}{n^2} \right) + \frac{p_{\alpha\parallel}}{m_\alpha} \mathbf{B} \cdot \nabla \left( \frac{p_{\alpha\perp}}{n} \right) - \\ - \frac{(p_{\alpha\parallel} - p_{\alpha\perp}) p_{\alpha\perp}}{nm_\alpha} \mathbf{B} \cdot \nabla \ln B = 0, \end{aligned} \quad (6)$$

$$\frac{d\mathbf{B}}{dt} + \mathbf{B} \nabla \cdot \mathbf{v} - (\mathbf{B} \cdot \nabla) \mathbf{v} = 0, \quad \nabla \cdot \mathbf{B} = 0. \quad (7)$$

При выводе этих уравнений считается, что плазма является квазинейтральной,  $n_e \approx n_i = n$ , а массовые скорости ее компонентов близки,  $\mathbf{v}_e \approx \mathbf{v}_i = \mathbf{v}$ . Здесь  $d/dt = \partial/\partial t + \mathbf{v} \cdot \nabla$ ,  $\rho_\alpha = nm_\alpha$  и  $S_{\alpha\parallel}$  и  $S_{\alpha\perp}$  – тепловые потоки вдоль магнитного поля, вызванные продольными и поперечными тепловыми движениями частиц сорта  $\alpha$ . Если пренебречь этими потоками,  $S_{\alpha\parallel} = 0$ ,  $S_{\alpha\perp} = 0$ , то получим законы изменения продольных и поперечных тепловых энергий вдоль траектории элемента жидкости (левые части уравнений (3) и (4)). Эта пара уравнений (так называемые “двойные адиабаты”) и уравнения (1), (2) и (7) образуют замкнутую систему уравнений, известную как ЧГЛ-уравнения [1]. Однако если воспользоваться ЧГЛ-уравнениями, то остаются не удовлетворенными уравнения (5) и (6). Это является следствием того, что при выводе ЧГЛ-уравнений без всяких обоснований были опущены третьи моменты функции распределения, т. е. тепловые потоки не учитывались. Приведенные здесь уравнения (1)–(7) содержат тепловые потоки и являются более полными уравнениями. ЧГЛ-уравнения не следуют из этих уравнений как частный случай.

При выводе 16-моментных уравнений сохранены моменты до третьего ранга (тепловые потоки) [3]. Как было показано, в этом случае в урав-

нения для моментов 3-го ранга входят моменты 4-го ранга как неизвестные, которые должны подчиняться условиям Шварца. Далее все физические переменные, в том числе функция распределения частиц, разлагаются в ряд по малому ларморовскому радиусу. Для нулевого порядка уравнений предполагается, что зависимость функций распределения частиц от  $\mathbf{u}$  должна быть в виде  $m|\mathbf{u} - \mathbf{v}|^2/2$  (т. е. как энергия в системе координат, связанной с жидкостью) и от питч-угла как  $\sin \lambda = (\mathbf{u} - \mathbf{v}) \cdot \mathbf{B}/(|\mathbf{u} - \mathbf{v}|B)$ . При этом допускается, что функции распределения частиц в нулевом порядке не зависят от гирофазы. Перечисленные условия являются основными требованиями к функциям распределения частиц при выводе замкнутой системы МГД-уравнений. Хотя такой вид функции распределения теряет некоторые тонкости кинетических эффектов, но они позволяют прервать ряд цепочек моментных уравнений. Функциональный вид функций распределений может быть различным: би-максвелловская, каппа и т.д. Для каждого конкретного вида этих функций получаемые конечные уравнения будут разными. В простейшем случае би-максвелловского распределения с двумя температурами

$$f_0(\mathbf{u} - \mathbf{v} | \lambda; \mathbf{r}; t) = \left(\frac{m}{2\pi}\right)^{3/2} \frac{n^{5/2}}{p_{\perp} p_{\parallel}^{1/2}} \times \exp\left[-\frac{mn|\mathbf{u} - \mathbf{v}|^2}{2} \left(\frac{\cos^2 \lambda}{p_{\perp}} + \frac{\sin^2 \lambda}{p_{\parallel}}\right)\right]$$

моменты 4-го ранга, входящие в уравнения 3-го ранга, выражаются моментами более низкого ранга. Это позволяет замыкать системы моментных уравнений. Отметим, что неравновесная плазма с пучком заряженных частиц, движущихся вдоль направления магнитного поля и вращающихся вокруг него, или двухпоточковая система может описываться подобными функциями распределения частиц.

### 3. ВЫВОД ДИСПЕРСИОННОГО УРАВНЕНИЯ

Для простоты рассмотрим случай, когда невозмущенное состояние плазмы однородно и стационарно: все величины  $\mathbf{v}_0, \rho_0, p_{\parallel 0}, p_{\perp 0}, \mathbf{B}_0, S_{\parallel 0}$  и  $S_{\perp 0}$  для частиц сорта  $\alpha$  не зависят от координат и времени. Уравнения (1)–(7) автоматически удовлетворяют этим условиям с ненулевыми тепловыми потоками. Рассмотрим малые возмущения физических величин относительно равновесного состояния. Например, давление представим в виде  $p = p_0 + p'(r, t)$ , где  $p'(r, t) \sim \exp i(\mathbf{k} \cdot \mathbf{r} - \omega_0 t)$  и  $|p'| \ll p_0$ . Здесь  $\omega_0 = \omega + (\mathbf{v}_0 \cdot \mathbf{k})$  является частотой колебаний в движущей совместно с плазмой системе координат,  $\mathbf{k}$  – волновой вектор колебаний.

Исключив из уравнений возмущения тепловых потоков

$$S'_{\alpha\perp} = \frac{k_{\parallel} p_{\alpha\parallel 0} p_{\alpha\perp 0}}{\omega \rho_{\alpha 0}} \left( \frac{p'_{\alpha\perp}}{p_{\alpha\perp 0}} - \frac{\rho'_{\alpha}}{\rho_{\alpha 0}} - \frac{p_{\alpha\parallel 0} - p_{\alpha\perp 0}}{p_{\alpha\parallel 0}} \frac{B'}{B_0} \right) + 2S_{\alpha\perp 0} \frac{\rho'_{\alpha}}{\rho_{\alpha 0}}, \quad (8)$$

$$S'_{\alpha\parallel} = \frac{3p_{\alpha\parallel 0}^2 k_{\parallel}}{\omega \rho_{\alpha 0}} \left( \frac{p'_{\alpha\parallel}}{p_{\alpha\parallel 0}} - \frac{\rho'_{\alpha}}{\rho_{\alpha 0}} \right) - S_{\alpha\parallel 0} \left( 3 \frac{B'}{B_0} - 4 \frac{\rho'_{\alpha}}{\rho_{\alpha 0}} \right), \quad (9)$$

получим систему уравнений для возмущенного состояния

$$\rho'_{\alpha} \omega - \rho_{\alpha 0} (k_x v'_x + k_y v'_y + k_z v'_z) = 0, \quad (10)$$

$$a_{\alpha 0} \frac{p'_{\alpha\perp}}{p_{\alpha\perp 0}} = a_{\alpha 1} \frac{B'}{B_0} + a_{\alpha 2} \frac{\rho'_{\alpha}}{\rho_{\alpha 0}}; \quad (11)$$

$$b_{\alpha 0} \frac{p'_{\alpha\parallel}}{p_{\alpha\parallel 0}} = b_{\alpha 1} \frac{B'}{B_0} + b_{\alpha 2} \frac{\rho'_{\alpha}}{h o_{\alpha 0}},$$

$$\omega \rho_0 \mathbf{v}' + \frac{1}{4\pi} (\mathbf{k} \cdot \mathbf{B}_0) \mathbf{B}' - \frac{1}{4\pi} B_0 B' \mathbf{k} - \sum_{\alpha} \left[ \mathbf{k} p'_{\alpha\perp} + \frac{p_{\alpha\parallel 0} - p_{\alpha\perp 0}}{B_0^2} \times \right. \quad (12)$$

$$\left. \times (\mathbf{k} \cdot \mathbf{B}_0) \left( \mathbf{B}' - 2 \frac{B'}{B_0} \mathbf{B}_0 + \frac{p'_{\alpha\parallel} - p'_{\alpha\perp}}{p_{\alpha\parallel 0} - p_{\alpha\perp 0}} \mathbf{B}_0 \right) \right] = 0,$$

$$\omega \mathbf{B}' - \mathbf{B}_0 (\mathbf{k} \cdot \mathbf{v}) + (\mathbf{B}_0 \cdot \mathbf{k}) \mathbf{v} = 0, \quad (\mathbf{k} \cdot \mathbf{B}') = 0, \quad (13)$$

где

$$\begin{aligned} a_{\alpha 0} &= 1 - \eta_{\alpha}^2, & a_{\alpha 1} &= 1 - 2\gamma_{\alpha} \eta_{\alpha} - \bar{\varphi}_{\alpha} \eta_{\alpha}^2, \\ a_{\alpha 2} &= 1 + 2\gamma_{\alpha} \eta_{\alpha} - \eta_{\alpha}^2, \\ b_{\alpha 0} &= 1 - 3\eta_{\alpha}^2, & b_{\alpha 1} &= 2\gamma_{\alpha} \eta_{\alpha} (\varphi_{\alpha} - 2) - 2, \\ b_{\alpha 2} &= 3 + 4\gamma_{\alpha} \eta_{\alpha} - 3\eta_{\alpha}^2. \end{aligned} \quad (14)$$

Здесь для основного невозмущенного состояния были введены обозначения (нулевые индексы опущены)

$$\begin{aligned} \rho_{\alpha} &= n m_{\alpha}, & \varphi_{\alpha} &= \frac{p_{\alpha\perp}}{p_{\alpha\parallel}}, & \bar{\varphi}_{\alpha} &= 1 - \varphi_{\alpha}, & c_{\alpha\parallel}^2 &= \frac{p_{\alpha\parallel}}{\rho_{\alpha}}, \\ c_{\alpha\perp}^2 &= \frac{p_{\alpha\perp}}{\rho_{\alpha}}, & \eta_{\alpha} &\equiv \frac{c_{\alpha\parallel} k_{\parallel}}{\omega} = \frac{c_{\alpha\parallel} k}{\omega} \cos \theta, \end{aligned} \quad (15)$$

где  $\theta$  – угол между векторами  $\mathbf{k}$  и  $\mathbf{B}_0$ ,  $k_{\parallel} = \mathbf{B}_0 \cdot \mathbf{k}/B_0$ . Безразмерные величины, характеризующие тепловые потоки,  $\bar{S}_{\alpha\parallel} = S_{\alpha\parallel}/(p_{\alpha\parallel} c_{\alpha\parallel})$ ,  $\bar{S}_{\alpha\perp} = S_{\alpha\perp}/(p_{\alpha\perp} c_{\alpha\parallel})$  в реальных ситуациях различаются. Однако, здесь

для простоты считаем, что  $\bar{S}_{\alpha\parallel} = \bar{S}_{\alpha\perp} = \gamma_\alpha$ . Примем, что  $\rho = \sum \rho_\alpha$  и

$$l = l_1 = \cos^2 \theta, \quad l_2 = \sin^2 \theta, \\ c_A^2 \equiv \frac{B^2}{4\pi\rho}, \quad \beta_\alpha = \frac{B^2}{4\pi\rho_{\alpha\parallel}}$$

$$\rho_{\alpha\parallel} = \frac{1}{2} n_e k_B T_{\alpha\parallel}, \quad \rho_{\alpha\perp} = \frac{1}{2} n_e k_B T_{\alpha\perp}, \quad \Omega \equiv \frac{c_{i\parallel}}{c_{e\parallel}} = \frac{\Psi}{\sqrt{\Lambda_e}},$$

$$\Lambda_\alpha = \frac{m_i + m_e}{m_\alpha} \approx \frac{m_i}{m_\alpha}, \quad p_{i\parallel} = \Lambda_e \Omega^2 p_{e\parallel}, \quad (16)$$

$$\Lambda_e = \kappa^2 \approx 1836,$$

$$\Psi^2 = \frac{p_{i\parallel}}{p_{e\parallel}} = \frac{T_{i\parallel}}{T_{e\parallel}} = \frac{1}{\tau_{\parallel}}, \quad c_{s\perp}^2 \equiv \left( \sum_\alpha p_{\alpha\perp} \right) / \rho,$$

$$c_{s\parallel}^2 \equiv \left( \sum_\alpha p_{\alpha\parallel} \right) / \rho.$$

Допустив, не нарушая общности постановки задачи, что в плоской декартовой системе координат

$$\mathbf{k} = (k, 0, 0), \quad \mathbf{B}_0 = (B_{0x}, 0, B_{0z}), \\ B_{0x} = B_0 \cos \theta, \quad B_{0z} = B_0 \sin \theta \quad (17)$$

и исключив  $\rho'_\alpha$ ,  $p'_{\alpha\perp}$  и  $p'_{\alpha\parallel}$ , получим

$$\frac{\mathbf{B}'}{B} - \frac{\mathbf{B}(\mathbf{k} \cdot \mathbf{v})}{B \omega} + \frac{k_{\parallel} \mathbf{v}}{\omega} = 0, \quad (18)$$

$$\frac{1}{\eta_i c_{i\parallel}} \frac{\mathbf{v}}{c_{i\parallel}} - \varphi_i \frac{\mathbf{k}}{k_{\parallel}} \left[ \frac{a_{i1}}{a_{i0}} \frac{B'}{B} + \frac{a_{i2}(\mathbf{k} \cdot \mathbf{v})}{a_{i0} \omega} + \frac{(\mathbf{B} \cdot \mathbf{B}')}{4\pi p_{i\perp}} \right] + \\ + \frac{\mathbf{B}'}{B} (\beta_i - \bar{\varphi}_i) - \frac{\mathbf{B}}{B} \left[ \left( \frac{b_{i1}}{b_{i0}} - \varphi_i \frac{a_{i1}}{a_{i0}} - 2\bar{\varphi}_i \right) \frac{B'}{B} + \right. \\ \left. + \left( \frac{b_{i2}}{b_{i0}} - \varphi_i \frac{a_{i2}}{a_{i0}} \right) \frac{(\mathbf{k} \cdot \mathbf{v})}{\omega} \right] - \\ - \tau_{\parallel} \left[ \varphi_e \frac{\mathbf{k}}{k_{\parallel}} \left( \frac{a_{e1}}{a_{e0}} \frac{B'}{B} + \frac{a_{e2}(\mathbf{k} \cdot \mathbf{v})}{a_{e0} \omega} \right) + \frac{\mathbf{B}'}{B} \bar{\varphi}_e + \right. \\ \left. + \frac{B}{B} \left[ \left( \frac{b_{e1}}{b_{e0}} - \varphi_e \frac{a_{e1}}{a_{e0}} - 2\bar{\varphi}_e \right) \frac{B'}{B} + \right. \right. \\ \left. \left. + \left( \frac{b_{e2}}{b_{e0}} - \varphi_e \frac{a_{e2}}{a_{e0}} \right) \frac{(\mathbf{k} \cdot \mathbf{v})}{\omega} \right] \right] = 0, \quad (19)$$

$y$ -компонента этой системы сводится к

$$\frac{B'_y}{B} + \eta_i \frac{v_y}{c_{i\parallel}} + \frac{B'_y}{B} + \eta_e \frac{v_y}{c_{e\parallel}} = 0, \\ p_{i\parallel} \frac{1}{\eta_i c_{i\parallel}} \frac{v_y}{c_{i\parallel}} + p_{i\parallel} (\beta_i - \bar{\varphi}_i) \frac{B'_y}{B} - p_{e\parallel} \bar{\varphi}_e \frac{B'_y}{B} = 0, \quad (20)$$

откуда легко получается дисперсионное уравнение для несжимаемых мод:

$$\sum_\alpha \frac{\eta_\alpha^2}{\Lambda_\alpha} \left( \frac{1}{2} \beta_\alpha + \varphi_\alpha - 1 \right) = 1, \quad (21)$$

из которого следует, что

$$\frac{\omega^2}{c_{i\parallel}^2 k^2} = l \left( \beta_i + \varphi_i - 1 + \frac{\varphi_e - 1}{\Psi^2} \right). \quad (22)$$

В размерных величинах это соответствует известному результату

$$\omega^2 = c_A^2 k_{\parallel}^2 \left( 1 - 4\pi \sum_\alpha \frac{p_{\alpha\parallel} - p_{\alpha\perp}}{B^2} \right). \quad (23)$$

Это является прототипом дисперсионного уравнения альфвеновских колебаний в изотропной плазме. При выполнении

$$\beta_i + \varphi_i + \varphi_e / \Psi^2 < 1 + 1/\Psi^2 \quad (24)$$

альфвеновские моды становятся неустойчивыми, возникает шланговая неустойчивость. В двух случаях инкремент шланговой неустойчивости переходит к известному случаю: при  $\Psi^2 \gg 1$  (холодные электроны,  $T_{e\parallel} \ll T_{i\parallel}$ ) и при изотропных электронах,  $\varphi_e = 1$ . Если электронный компонент плазмы анизотропный,  $\varphi_e \neq 1$ , то при  $\varphi_e > 1$  ( $T_{e\perp} > T_{e\parallel}$ ) шланговая неустойчивость подавляется, а при обратном случае,  $\varphi_e < 1$  ( $T_{e\perp} < T_{e\parallel}$ ), наоборот, неустойчивость усиливается.

Другие  $x$  и  $z$  компоненты системы уравнений (18)–(19) имеют вид

$$q_{i1} \frac{v_x}{c_{i\parallel}} - q_{i2} \operatorname{tg} \theta \frac{B'_z}{B} + \tau_{\parallel} q_{e1} \frac{v_x}{c_{e\parallel}} - \tau_{\parallel} q_{e2} \operatorname{tg} \theta \frac{B'_z}{B} = 0, \\ \frac{B'_z}{B} - \eta_\alpha \operatorname{tg} \theta \frac{v_x}{c_{\alpha\parallel}} + \eta_\alpha \frac{v_z}{c_{\alpha\parallel}} = 0, \quad (25)$$

$$\frac{1}{\eta_i c_{i\parallel}} \frac{v_z}{c_{i\parallel}} - q_{i3} \operatorname{tg} \theta \frac{v_x}{c_{i\parallel}} + q_{i4} \frac{B'_z}{B} - \tau_{\parallel} q_{e3} \operatorname{tg} \theta \frac{v_x}{c_{e\parallel}} + \tau_{\parallel} q_{e4} \frac{B'_z}{B} = 0,$$

где

$$q_{i4} = \beta_i - \bar{\varphi}_i - l_2 q_{i0}, \quad q_{e4} = -\bar{\varphi}_e - l_2 q_{e0}, \\ q_{i2} = \varphi_i \frac{a_{i1}}{a_{i0}} + \beta_i + l_1 q_{i0}, \quad q_{e2} = \varphi_e \frac{a_{e1}}{a_{e0}} + l_1 q_{e0}, \\ q_{i1} = \frac{1}{\eta_i} - \eta_i \frac{\varphi_i a_{i2}}{l_1 a_{i0}} - q_{i3}, \quad q_{e1} = -\eta_e \frac{\varphi_e a_{e2}}{l_1 a_{e0}} - q_{e3}, \quad (26) \\ q_{i3} = \eta_i \left( \frac{b_{i2}}{b_{i0}} - \varphi_i \frac{a_{i2}}{a_{i0}} \right), \quad q_{e3} = \eta_e \left( \frac{b_{e2}}{b_{e0}} - \varphi_e \frac{a_{e2}}{a_{e0}} \right), \\ q_{i0} = \frac{b_{i1}}{b_{i0}} - \varphi_i \frac{a_{i1}}{a_{i0}} - 2\bar{\varphi}_i, \quad q_{e0} = \frac{b_{e1}}{b_{e0}} - \varphi_e \frac{a_{e1}}{a_{e0}} - 2\bar{\varphi}_e.$$

Детерминант этой системы дает дисперсионное уравнение для сжимаемых мод:

$$\sum_{\alpha} l_1 \frac{\eta_{\alpha} g_{\alpha 1}}{\Lambda_{\alpha}} \left( 1 - \sum_{\alpha} \frac{\eta_{\alpha} g_{\alpha 4}}{\Lambda_{\alpha}} \right) - \sum_{\alpha} l_2 \frac{\eta_{\alpha} g_{\alpha 2}}{\Lambda_{\alpha}} \left( 1 - \sum_{\alpha} \frac{\eta_{\alpha} g_{\alpha 3}}{\Lambda_{\alpha}} \right) = 0 \quad (27)$$

Учитывая, что  $\eta_i = \Omega \eta_e$ ,  $c_{e\parallel}^2 \rho_e = p_{i\parallel} / (\Lambda_e \Omega^2)$  дисперсионное уравнение для сжимаемых мод (27) представляется в виде

$$(x^2 - 1)(x^2 - 3)(\Omega^2 x^2 - 3)(\Omega^2 x^2 - 1)Z = 0, \quad (28)$$

где  $x = 1/\eta_i$ . Легко можно доказать, что корни множителей  $(x^2 - 1)(x^2 - 3)(\Omega^2 x^2 - 3)(\Omega^2 x^2 - 1)$  являются ложными (см. (11)). Последний множитель  $Z = 0$  в (28) является дисперсионным уравнением для сжимаемых мод. Это полиномиальное уравнение 12-го порядка для нормированной фазовой скорости  $x = \omega/k_{\parallel} c_{i\parallel}$

$$U_{12}x^{12} + U_{10}x^{10} + U_8x^8 + U_6x^6 + U_4x^4 + U_2x^2 + U_0 + \gamma_{\alpha} [U_9x^9 + U_7x^7 + U_5x^5 + U_3x^3 + U_1x] = 0, \quad (29)$$

которое является общим дисперсионным уравнением сжимаемых волновых мод в однородной бесконечной анизотропной замагниченной двухкомпонентной плазме. Здесь учтены тепловые потоки вдоль магнитного поля, переносимые частицами сорта  $\alpha$ . Коэффициенты уравнения  $U_{0-12}$  являются сложными действительными функциями параметров задачи, которые были получены в работе [10]. Эти коэффициенты приведены в Приложении.

В частном случае, при переходе к однокомпонентной ионной плазме  $\psi \rightarrow \infty$  общее дисперсионное уравнение (29) переходит в

$$C_8x^8 + C_6x^6 + C_4x^4 + C_2x^2 + C_0 + \gamma_i [C_5x^5 + C_3x^3 + C_1x] = 0, \quad (30)$$

которое точно совпадает с результатами работы [4].

В общем случае уравнение (29) сложное. Оно включает в себя эффекты анизотропии как ионного, так и электронного компонентов. Взаимодействие ионных и электронных колебаний усложняется присутствием тепловых потоков вдоль магнитного поля в обоих компонентах.

#### 4. ВОЛНЫ В БЕСПОТОВОМ РЕЖИМЕ

Для идентификации волновых мод исключим эффекты, связанные с тепловыми потоками.

Пусть  $\gamma_{\alpha} = 0$ . Для простоты обозначим  $t = x^2$ ,  $v_{ph}^2 \equiv \omega^2/c_{i\parallel}^2 k^2 = lt$ . Тогда уравнение (29) представляется в виде

$$U_{12}t^6 + U_{10}t^5 + U_8t^4 + U_6t^3 + U_4t^2 + U_2t + U_0 = 0. \quad (31)$$

##### 4.1. Параллельное распространение волн

В случае параллельного распространения волн относительного магнитного поля,  $l = 1$ , уравнение (31) удастся представить в виде множителей

$$(t - 1)(-\psi^2 t + \kappa^2) \times (\psi^2 t - \psi^2 \beta_i - \psi^2 \phi_i + \psi^2 - \phi_e + 1) \bar{Z} = 0, \quad (32)$$

где

$$\bar{Z} \equiv -\psi^4 t^3 + 3\kappa^2 \psi^2 t^2 + 6\psi^4 t^2 - 18\kappa^2 \psi^2 t - 3\psi^4 t + 9\kappa^2 \psi^2 + 3\psi^2 t^2 - 3\kappa^2 t - 9\psi^2 t + 9\kappa^2. \quad (33)$$

В (32) первое решение  $t = 1$  соответствует медленным ионно-акустическим модам (SIA), для которых  $\omega^2 = c_{i\parallel}^2 k_{\parallel}^2$ . Второй множитель  $(-\psi^2 t + \kappa^2) = 0$  соответствует медленным электронно-акустическим модам (SEA), для которых  $\omega^2 = c_{e\parallel}^2 k_{\parallel}^2$ . Третий множитель в (32)  $\psi^2 t - \psi^2 \beta_i - \psi^2 \phi_i + \psi^2 - \phi_e + 1 = 0$  описывает ускоренные магнитозвуковые моды (FMS), для которых  $\omega^2 = c_{i\parallel}^2 k_{\parallel}^2 (\phi_i \psi^2 + \beta_i \psi^2 - \psi^2 + \phi_e - 1) / \psi^2$ , которую можно представить в виде  $\omega^2 = c_A^2 k_{\parallel}^2 \left( 1 - 4\pi \sum_{\alpha} \frac{p_{\alpha\parallel} - p_{\alpha\perp}}{B^2} \right)$ . Ускоренные магнитозвуковые моды при параллельном распространении становятся несжимаемыми, и дисперсионное уравнение совпадает с уравнением для альфвеновских волн (23).

Четвертый множитель в (32)  $\bar{Z} = 0$  это кубическое уравнение. Сложных точных формул для решения кубического уравнения здесь приводить не будем. Воспользуемся разложением по малому параметру  $1/\kappa^2 = \epsilon \ll 1$ . Пусть  $\psi^2 = \mu$ , тогда

$$\bar{Z} \equiv -\epsilon \mu t [\mu t^2 - 3(2\mu + 1)t + 3(\mu + 3)] + 3[\mu t^2 - (6\mu + 1)t + 3(\mu + 1)] = 0. \quad (34)$$

При  $\epsilon \rightarrow 0$  получим

$$t_{1,2} = \frac{6\mu + 1 \pm \sqrt{(6\mu + 1)^2 - 12(\mu + 1)\mu}}{2\mu}, \quad (35)$$

или

$$\omega^2 = \frac{6 + \tau_{\parallel} \pm \sqrt{24 + \tau_{\parallel}^2}}{2} c_{i\parallel}^2 k_{\parallel}^2. \quad (36)$$

Здесь первое решение (верхний знак) описывает медленные звуковые моды (*SS*). Это решение можно представить в виде

$$\omega^2 = \frac{6 + \tau_{\parallel} + \sqrt{24 + \tau_{\parallel}^2}}{2(1 + \tau_{\parallel})} c_{s\parallel}^2 k_{\parallel}^2. \quad (37)$$

При  $\tau_{\parallel} \rightarrow 1$  (изотермическая плазма)  $\omega^2 = 3c_{s\parallel}^2 k_{\parallel}^2$ , а при  $\tau_{\parallel} \rightarrow \infty$  (холодные ионы)  $\omega^2 = c_{s\parallel}^2 k_{\parallel}^2$ . Второе решение (нижний знак) описывает быстрые ионно-акустические моды (*FIA*)

$$\omega^2 = \frac{6 + \tau_{\parallel} - \sqrt{24 + \tau_{\parallel}^2}}{2} c_{s\parallel}^2 k_{\parallel}^2. \quad (38)$$

При  $\tau_{\parallel} \rightarrow 1$  (изотермическая плазма)  $\omega^2 = c_{s\parallel}^2 k_{\parallel}^2$ , а при  $\tau_{\parallel} \rightarrow \infty$  (холодные ионы)  $\omega^2 = 3c_{s\parallel}^2 k_{\parallel}^2$ .

Третье решение (34)

$$t_3 \approx \frac{1}{\epsilon \mu} \frac{3}{\psi^2} = \frac{3\kappa^2}{\psi^2}, \quad (39)$$

что соответствует быстрым электронно-акустическим модам (*FEA*),  $\omega^2 = 3c_{e\parallel}^2 k_{\parallel}^2$ .

Таким образом, в беспотоковом режиме при параллельном распространении общее дисперсионное уравнение (29) переходит в (32), которое описывает шесть мод: быстрые магнитозвуковые, медленные звуковые, быстрые/медленные ионно-акустические и быстрые/медленные электронно-акустические моды. Из них только быстрые магнитозвуковые волны могут стать неустойчивыми при выполнении условий развития шланговой неустойчивости (24).

#### 4.2. Перпендикулярное распространение волн

При квазиперпендикулярном распространении волн ( $l \rightarrow 0$ ) из дисперсионного уравнения (31) для медленных звуковых волн получим

$$\omega^2 = k^2 (c_A^2 + 2c_{s\perp}^2), \quad (40)$$

которое является устойчивым. Для остальных мод колебаний  $\omega^2 \sim l \rightarrow 0$ .

#### 4.3. Наклонное распространение волн

В общем случае, когда волны распространяются под произвольным углом  $0 < l < 1$ , дисперсионное уравнение (31) решается численно. Коэффициенты этого уравнения являются действительными функциями пяти параметров:  $l$  – параметр угла распространения волны относительно направления магнитного поля,  $\beta_i$  – параметр интенсивности магнитного поля,  $\psi$  – степень неизотермичности плазмы,  $\phi_e$  и  $\phi_i$  – сте-

пени анизотропии электронной и ионной составляющих плазмы. При выборе набора параметров выделим два характерных случая, когда шланговая неустойчивость возникает (условие (24) выполняется), и когда шланговая неустойчивость не возникает (условие (24) не выполняется). На рис. 1 показана зависимость нормированного квадрата фазовой скорости  $v_{ph}^2$  от  $l$ . На кривых указаны названия волновых мод, полученных в предыдущем разделе для продольного распространения. Если  $v_{ph}^2 < 0$ , то возникает неустойчивость. При заданных на рис. 1 параметрах альфвеновские волны (*A*) для всех углов становятся неустойчивыми (шланговая неустойчивость), а быстрые магнитозвуковые моды (*FMS*) становятся неустойчивыми только при квазипродольном распространении (вторая шланговая неустойчивость). Порог неустойчивости *FMS*-мод определяется условием  $U_0(l, \psi, \beta_i, \phi_e, \phi_i) = 0$ , где функция  $U_0$  определена в [10]. Для устойчивых мод фазовые скорости располагаются в следующем порядке:  $A < FMS < SIA < FIA < SS < SEA < FEA$ .

При другом наборе параметров, когда условие шланговой неустойчивости (24) не выполняется, может возникать зеркальная неустойчивость при больших углах распространения. Такой пример показан на рис. 2, где на ветке быстрых ионно-акустических мод (*FIA*) развивается зеркальная неустойчивость. Для зеркальной неустойчивости также существует порог.

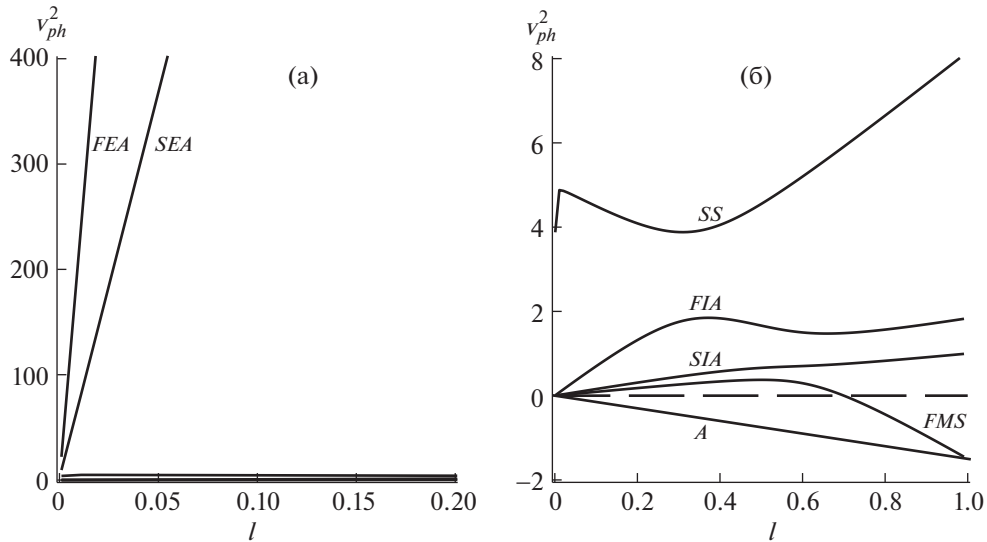
Увеличение интенсивности магнитного поля ( $\beta_i \sim B^2$ ) подавляет рассматриваемые неустойчивости. Это видно из примеров, показанных на рис. 3.

### 5. КРИТЕРИИ ВОЗНИКНОВЕНИЯ НЕУСТОЙЧИВОСТИ

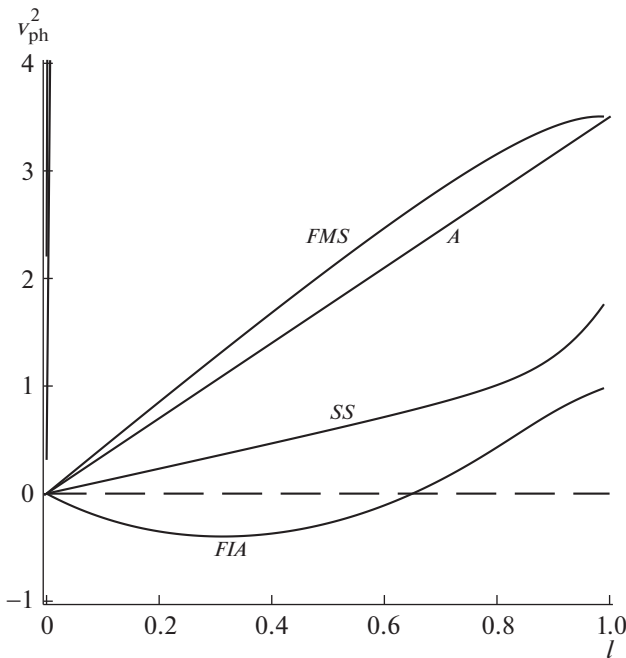
Как видно из общего дисперсионного уравнения (29) при отсутствии теплового потока ( $\gamma_\alpha = 0$ ) вблизи порога неустойчивости

$$x^2 \approx -\frac{U_0}{U_2}. \quad (41)$$

Здесь функции  $U_0 = U_0(\phi_i, \phi_e, \psi, \beta_i, l)$  и  $U_2 = U_2(\phi_i, \phi_e, \psi, \beta_i, l)$  определены в [10]. Критерий возникновения неустойчивости в общем виде определяется как  $U_0/U_2 > 0$ . Учитывая, что для наклонных волн функции  $U_0$  и  $U_2$  являются линейными функциями параметра  $l = \cos^2 \theta$ , то



**Рис. 1.** Зависимость квадрата фазовой скорости распространения волн от параметра угла распространения  $l = \cos^2 \theta$  в случае возникновения шланговой неустойчивости, когда выполняется условие (24):  $\varphi_e = \varphi_i = 0.5, \beta_i = 1, \psi = 0.5$ . Неустойчивость возникает, если  $v_{ph}^2 < 0$ . Неустойчивыми становятся альфвеновские (A) и быстрые магнитозвуковые (FMS) моды. (а) – электронные акустические волны, (б) – все остальные волновые ветви.



**Рис. 2.** Зависимость квадрата фазовой скорости распространения волн от параметра угла распространения  $l = \cos^2 \theta$  в случае, когда шланговая неустойчивость не возникает (условие (24) не выполняется):  $\varphi_e = \varphi_i = 1.5, \beta_i = 1, \psi = 0.5$ . В этом случае возможна зеркальная неустойчивость, которая развивается у быстрых ионно-акустических (FIA) мод при квазипоперечном распространении.

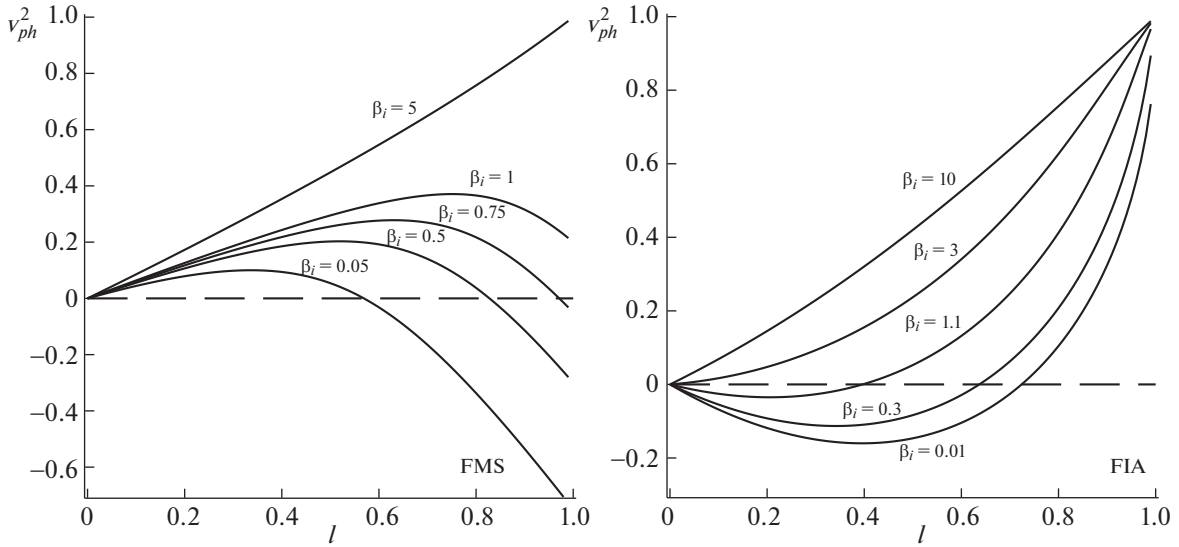
$x^2 \approx -(a + bl)/(c + dl)$ , где  $a, b, c, d$  легко определяются из выражений для  $U_0$  и  $U_2$ :

$$a = -18\kappa^4\psi^4\varphi_i^2 + 9\kappa^4\psi^4\beta_i + 18\kappa^4\psi^4\varphi_i - 9\kappa^4\psi^2\varphi_e^2 - 18\kappa^4\psi^2\varphi_e\varphi_i - 9\kappa^4\psi^2\varphi_i^2 + 9\kappa^4\psi^2\beta_i + 18\kappa^4\psi^2\varphi_e + 18\kappa^4\psi^2\varphi_i - 18\kappa^4\varphi_e^2 + 18\kappa^4\varphi_e, \quad (42)$$

$$b = 18\kappa^4\psi^4\varphi_i^2 - 9\kappa^4\psi^4\varphi_i - 9\kappa^4\psi^4 + 9\kappa^4\psi^2\varphi_e^2 + 18\kappa^4\psi^2\varphi_e\varphi_i + 9\kappa^4\psi^2\varphi_i^2 - 9\kappa^4\psi^2\varphi_e - 9\kappa^4\psi^2\varphi_i - 18\kappa^4\psi^2 + 18\kappa^4\varphi_e^2 - 9\kappa^4\varphi_e - 9\kappa^4, \quad (43)$$

$$c = 30\kappa^4\psi^4\varphi_i^2 + 24\kappa^2\psi^6\varphi_i^2 - 27\kappa^4\psi^4\beta_i - 54\kappa^4\psi^4\varphi_i - 12\kappa^2\psi^6\beta_i - 24\kappa^2\psi^6\varphi_i + 27\kappa^4\psi^2\varphi_e^2 + 24\kappa^4\psi^2\varphi_e\varphi_i + 3\kappa^4\psi^2\varphi_i^2 + 3\kappa^2\psi^4\varphi_e^2 + 24\kappa^2\psi^4\varphi_e\varphi_i + 18\kappa^2\psi^4\varphi_i^2 - 12\kappa^4\psi^2\beta_i - 54\kappa^4\psi^2\varphi_e - 24\kappa^4\psi^2\varphi_i - 18\kappa^2\psi^4\beta_i - 24\kappa^2\psi^4\varphi_e - 36\kappa^2\psi^4\varphi_i + 24\kappa^4\varphi_e^2 + 21\kappa^2\psi^2\varphi_e^2 - 24\kappa^4\varphi_e - 36\kappa^2\psi^2\varphi_e, \quad (44)$$

$$d = -30\kappa^4\psi^4\varphi_i^2 - 24\kappa^2\psi^6\varphi_i^2 + 27\kappa^4\psi^4\varphi_i + 12\kappa^2\psi^6\varphi_i + 18\kappa^4\psi^4 - 27\kappa^4\psi^2\varphi_e^2 - 24\kappa^4\psi^2\varphi_e\varphi_i - 3\kappa^4\psi^2\varphi_i^2 + 12\kappa^2\psi^6 - 3\kappa^2\psi^4\varphi_e^2 - 24\kappa^2\psi^4\varphi_e\varphi_i - 18\kappa^2\psi^4\varphi_i^2 + 27\kappa^4\psi^2\varphi_e + 12\kappa^4\psi^2\varphi_i + 12\kappa^2\psi^4\varphi_e + \quad (45)$$



**Рис. 3.** Влияние магнитного поля (параметр  $\beta_i$ ) на условие возникновения неустойчивости. Слева: кривые зависимости квадрата фазовой скорости от угла распространения волн FMS-мод (вторая шланговая неустойчивость) при значениях параметров  $\varphi_e = 0.5$ ,  $\varphi_i = 0.7$ ,  $\psi = 1$ , справа: FIA-мод (зеркальная неустойчивость) при  $\varphi_e = 1.2$ ,  $\varphi_i = 1.5$ ,  $\psi = 0.7$ .

$$+ 18\kappa^2\psi^4\varphi_i + 30\kappa^4\psi^2 - 24\kappa^4\varphi_e^2 + 30\kappa^2\psi^4 - 21\kappa^2\psi^2\varphi_e^2 + 12\kappa^4\varphi_e + 18\kappa^2\psi^2\varphi_e + 12\kappa^4 + 18\kappa^2\psi^2.$$

В простейшем случае, когда протоны и электроны одинаково анизотропны,  $\varphi_i = \varphi_e = \varphi$ , в квазипоперечном пределе  $l \rightarrow 0$  получим

$$x^2 \approx - \frac{3(\psi^2 + 1)[\psi^2(2\varphi^2 - 2\varphi - \beta_i) + 2\varphi^2 - 2\varphi]}{16\varphi^3\beta_i(\varphi - 1)/(2\varphi^2 - 2\varphi - \beta_i)^2}, \quad (46)$$

а условие возникновения зеркальной неустойчивости принимает форму

$$\frac{\psi^2(2\varphi^2 - 2\varphi - \beta_i) + 2\varphi(\varphi - 1)}{\varphi - 1} > 0. \quad (47)$$

Если  $\varphi < 1$ , то это условие выполняется всегда. Если же  $\varphi > 1$ , должно быть  $\psi^2[2\varphi(\varphi - 1) - \beta_i] + 2\varphi(\varphi - 1) > 0$ . Это условие при  $\psi \rightarrow \infty$  (ионная плазма) переходит в  $\varphi^2 > \varphi + \beta_i/2$  или  $p_{\perp}^2/p_{\parallel} > p_{\perp} + p_m$ , которое является классическим условием возникновения зеркальной неустойчивости [4]. Здесь  $p_m$  – магнитное давление. При  $\psi \rightarrow 1$  ( $T_{e\parallel} = T_{i\parallel}$  – изотермическая плазма) верно неравенство  $\varphi^2 > \varphi + \beta_i/4$ . Для горячих электронов ( $\psi \rightarrow 0$ ) условие (47) выполняется во всех случаях.

В более общем случае  $\varphi_i \neq \varphi_e$  и наклонного распространения ( $l > 0$ ) порог неустойчивости соответствует критическому углу распространения волны  $l_c = -a/b$ , или

$$l_c = - \frac{\mu^2[\beta_i + 2\varphi_i(1 - \varphi_i)] - \mu[(\varphi_i + \varphi_e)(\varphi_i + \varphi_e - 2) - \beta_i] - 2\varphi_e(\varphi_e - 1)}{\mu^2(2\varphi_i + 1)(\varphi_i - 1) + \mu[(\varphi_i + \varphi_e)(\varphi_i + \varphi_e - 1) - 2] + (2\varphi_e + 1)(\varphi_e - 1)}, \quad (48)$$

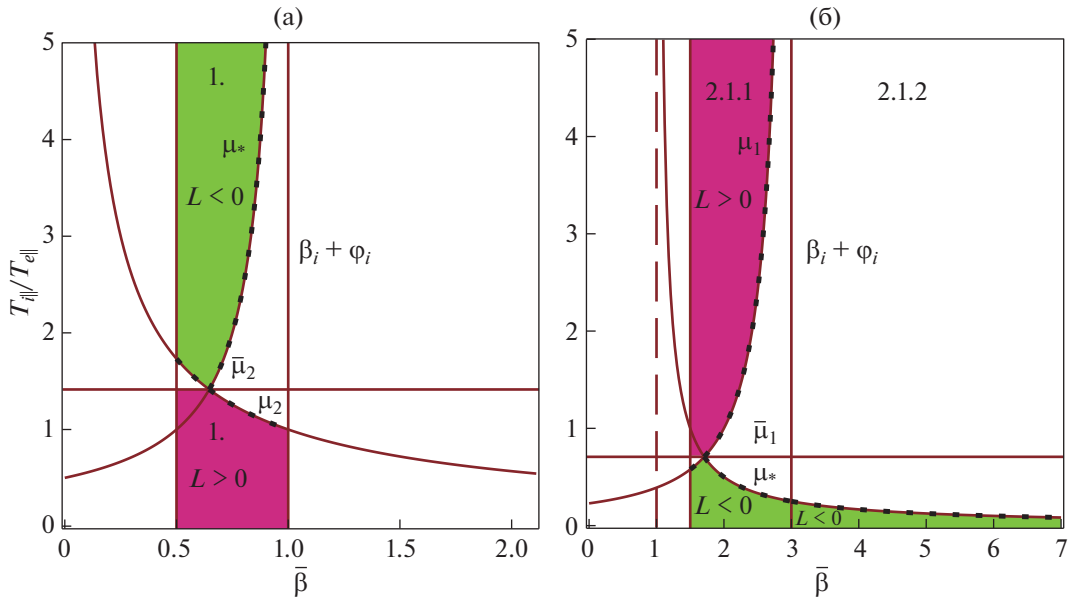
где  $\mu = \psi^2$ . Мы можем легко определить градиент изменения функции  $x^2(l)$  в критической точке  $l = l_c$

$$\left. \frac{dx^2}{dl} \right|_{l=l_c} = - \frac{b^2}{cb - da} = L. \quad (49)$$

Как было показано выше, зеркальная неустойчивость возникает при малых  $l < l_c$ , когда  $L > 0$ , а вторая сжимаемая шланговая неустойчивость ( $fh2$ ) при больших  $l > l_c$ , когда  $L < 0$ .

Рассмотрим условия реализации критического угла распространения волны  $0 \leq l_c \leq 1$  в зависи-





**Рис. 4.** Области существования порога ( $0 \leq l_c \leq 1$ ) наклонной шланговой ( $L < 0$ ) и зеркальных ( $L > 0$ ) неустойчивостей в анизотропной плазме при условиях: (а)  $\varphi_e > 1$ ,  $\bar{\beta} = \beta_i + \varphi_i < 1$ , где  $\varphi_e = 1.5$ ,  $\varphi_i = 0.5$ , зависимости  $\psi^2 = \mu$  от  $\bar{\beta}$  в условиях  $\mu > \max(\mu_2, \bar{\mu}_2, \mu_*)$  (для  $L < 0$ ) и  $\mu < \min(\mu_2, \bar{\mu}_2)$  (для  $L > 0$ ) определяют границы неустойчивостей; (б) для  $\varphi_e < 1$ ,  $\varphi_i > 1$ , где  $\varphi_e = 0.5$ ,  $\varphi_i = 1.5$ , зависимости  $\psi^2 = \mu$  от  $\bar{\beta} = \beta_i + \varphi_i$  в условиях  $\mu < \min(\mu_1, \bar{\mu}_1, \mu_*)$  (для  $L < 0$ ) и  $\mu > \max(\mu_1, \bar{\mu}_1)$  (для  $L > 0$ ) определяют границы неустойчивостей. На рисунках указаны пункты (1, 2.1.1 и 2.1.2) параграфа 4.1 основного текста, где приводятся формулы для определения границ областей.

мости от параметров плазмы  $\varphi_i$ ,  $\varphi_e$ ,  $\psi$ ,  $\beta_i$ . Для этого представим  $l_c$  как

$$l_c = \frac{a_1 \mu^2 + b_1 \mu + c_1}{a_2 \mu^2 + b_2 \mu + c_2} = \frac{a_1 (\mu - \mu_1)(\mu - \mu_2)}{a_2 (\mu - \bar{\mu}_1)(\mu - \bar{\mu}_2)}, \quad (50)$$

где

$$\begin{aligned} \bar{\varphi} &= \varphi_i + \varphi_e, & a_1 &= 2\varphi_i(\varphi_i - 1) - \beta_i, \\ b_1 &= \bar{\varphi}(\bar{\varphi} - 2) - \beta_i, & c_1 &= 2\varphi_e(\varphi_e - 1), \\ a_2 &= (2\varphi_i + 1)(\varphi_i - 1), & b_2 &= \bar{\varphi}(\bar{\varphi} - 1) - 2, \\ c_2 &= (2\varphi_e + 1)(\varphi_e - 1), \\ \Delta_1 &= b_1^2 - 4a_1c_1, & \Delta_2 &= b_2^2 - 4a_2c_2, \\ \mu_{1,2} &= \frac{-b_1 \pm \sqrt{\Delta_1}}{2a_1}, & \bar{\mu}_{1,2} &= \frac{-b_2 \pm \sqrt{\Delta_2}}{2a_2}. \end{aligned}$$

Из (50) следует, что  $l_c \leq 1$  может выполняться в следующих условиях:

$$\begin{aligned} \varphi_e > 1, & \quad \beta_i + \varphi_i < 1, & \quad \mu \geq \mu_*, \\ \varphi_e < 1, & \quad \beta_i + \varphi_i > 1, & \quad \mu \leq \mu_*, \\ \varphi_e = 1, & \quad \beta_i + \varphi_i \leq 1, & \quad \mu > 0, \end{aligned} \quad (51)$$

где  $\mu_* = (1 - \varphi_e)/(\beta_i + \varphi_i - 1)$ . Для выяснения выполнения условия  $l_c \geq 0$  необходимо различать

два случая:  $\varphi_e \neq 1$  (анизотропные электроны) и  $\varphi_e = 1$  (изотропные электроны).

### 5.1. Анизотропные электроны

Здесь мы должны рассмотреть условия (51) отдельно.

**1.** Пусть  $\varphi_e > 1$ ,  $\beta_i + \varphi_i < 1$ .

В этом случае  $\varphi_i < 1$ , и тогда  $c_{1,2} > 0$ ,  $a_{1,2} < 0$ ,  $\Delta_{1,2} > 0$ . Следовательно  $\mu_1 < 0$ ,  $\mu_2 > 0$ ,  $\bar{\mu}_1 < 0$ ,  $\bar{\mu}_2 > 0$ . С учетом этого получаем, что

$$l_c = \frac{a_1}{a_2} \frac{|\mu + |\mu_1||\mu - \mu_2}{|\mu + |\bar{\mu}_1||\mu - \bar{\mu}_2} > 0.$$

Отсюда получаем, что  $\mu > \max(\mu_2, \bar{\mu}_2)$ . Тогда для выполнения условия  $0 \leq l_c \leq 1$  необходимо, чтобы (с учетом (51))  $\mu > \max(\mu_2, \bar{\mu}_2, \mu_*)$ . Это является условием возникновения наклонной шланговой неустойчивости (*fh2*), для которой  $L < 0$ . Для зеркальной неустойчивости  $L > 0$  должно быть  $\mu < \min(\mu_2, \bar{\mu}_2)$ .

Найденные области неустойчивости показаны на рис. 4 при заданных  $\varphi_e > 1$  и  $\varphi_i < 1$ . Обе неустойчивости (наклонные шланговые и зеркальные) возникают в области больших плазменных бета

$\beta = 2/\beta_i > 1$ . Для горячих ионов ( $\psi^2 = T_{i\parallel}/T_{e\parallel} > 1$ ) доминирующей является шланговая неустойчивость ( $L < 0$ ), а для горячих электронов ( $\psi^2 < 1$ ) – зеркальная неустойчивость ( $L > 0$ ).

2. Пусть  $\phi_e < 1, \beta_i + \phi_i > 1$ .

В этом случае  $c_{1,2} < 0$  и рассмотрим два случая:  $\phi_i > 1$  и  $\phi_i < 1$ .

2.1. Если  $\phi_i > 1$ , тогда  $a_2 > 0, \Delta_2 > 0$ , и получим, что  $\bar{\mu}_1 > 0$  и  $\bar{\mu}_2 < 0$ . Относительно значений  $\beta_i$  возможны два варианта.

2.1.1. Если  $\beta_i < 2\phi_i(\phi_i - 1)$ , то  $a_1 > 0, \Delta_1 > 0$  и  $\mu_1 > 0, \mu_2 < 0$ . Тогда

$$l_c = \frac{a_1 \mu + |\mu_2| \mu - \mu_1}{a_2 \mu + |\bar{\mu}_2| \mu - \bar{\mu}_1} > 0,$$

из которого с учетом (51) следует, что при  $\mu > \max(\mu_1, \bar{\mu}_1)$  возникает зеркальная неустойчивость ( $L > 0$ ), а при  $\mu < \min(\mu_1, \bar{\mu}_1, \mu_*)$  – вторая шланговая неустойчивость ( $L < 0$ ).

2.1.2. В противоположном случае  $\beta_i > 2\phi_i(\phi_i - 1)$  параметр  $a_1 < 0$  и, следовательно,  $\mu_1 < 0, \mu_2 < 0$ . Тогда

$$l_c = -\frac{|a_1|(\mu + |\mu_1|)(\mu + |\mu_2|)}{|a_2|(\mu + |\bar{\mu}_2|)} \frac{1}{\mu - \bar{\mu}_1} > 0.$$

Следовательно, в рассматриваемом случае возможна только вторая шланговая неустойчивость ( $L < 0$ ), для которой  $\mu < \min(\mu_*, \bar{\mu}_1)$ .

Найденные области неустойчивости показаны на рис. 4 при заданных  $\phi_e < 1$  и  $\phi_i > 1$ . Для горячих ионов ( $\psi^2 = T_{i\parallel}/T_{e\parallel} > 1$ ) доминирующей является зеркальная неустойчивость ( $L > 0$ ), а для горячих электронов ( $\psi^2 < 1$ ) – вторая шланговая неустойчивость ( $L < 0$ ). Как видно из рисунка, наклонные шланговые неустойчивости возможны в области малых плазменных бета  $\beta = 2/\beta_i < 1$ .

2.2. В случае  $\phi_i < 1$  получаем, что  $a_1 < 0, b_1 < 0, c_1 < 0, \Delta_1 > 0$  и, следовательно,  $\mu_{1,2} < 0, a_2 < 0, b_2 < 0, c_2 < 0, \Delta_2 > 0$  и, следовательно,  $\bar{\mu}_{1,2} < 0$ . В этом случае условие  $l_c > 0$  выполняется для любых  $\mu$ , а условие  $l_c \leq 1$  требует  $\mu \leq \mu_*$ , которое является условием возникновения второй шланговой неустойчивости,  $L < 0$ . Эта область для фиксированных  $\phi_i < 1$  и  $\phi_e < 1$  показана на рис. 5.

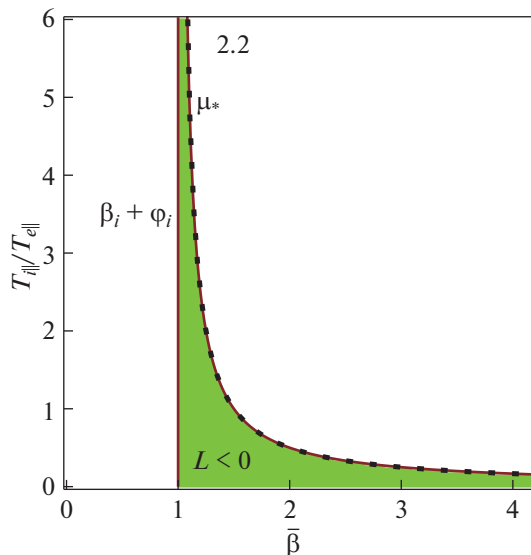


Рис. 5. Области существования порога ( $0 \leq l_c \leq 1$ ) наклонной шланговой ( $L < 0$ ) неустойчивости в анизотропной плазме при условиях  $\phi_e < 1, \bar{\beta} = \beta_i + \phi_i > 1$  и  $\phi_i < 1$ . Здесь  $\phi_e = 0.5, \phi_i = 0.5$ . Зависимости  $\psi^2 = \mu$  от  $\bar{\beta}$  в условиях  $\mu \leq \mu_*$  определяют границы неустойчивости.

### 5.2. Изотропные электроны

В этом случае  $\phi_e = 1$  и

$$l_c = \frac{2\mu\phi_i(1 - \phi_i) + \beta_i(1 + \mu) + (1 + \phi_i)(1 - \phi_i)}{(1 - \phi_i)(2\mu\phi_i + \mu + \phi_i + 2)}. \quad (52)$$

Если  $\phi_i < 1$ , условие  $l_c > 0$  выполняется всегда, а для  $l_c \leq 1$  необходимо выполнение  $\beta_i + \phi_i \leq 1$ . При этом  $L < 0$  и возникает вторая шланговая неустойчивость.

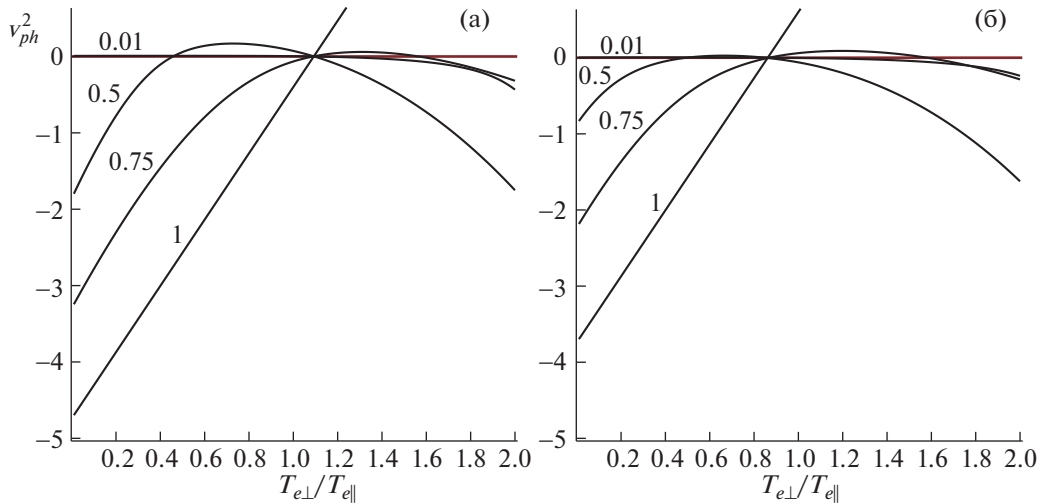
При  $\phi_i > 1$  условие  $l_c \geq 0$  требует выполнения

$$\beta_i \leq \frac{(\phi_i - 1)(1 + \phi_i + 2\mu\phi_i)}{(1 + \mu)},$$

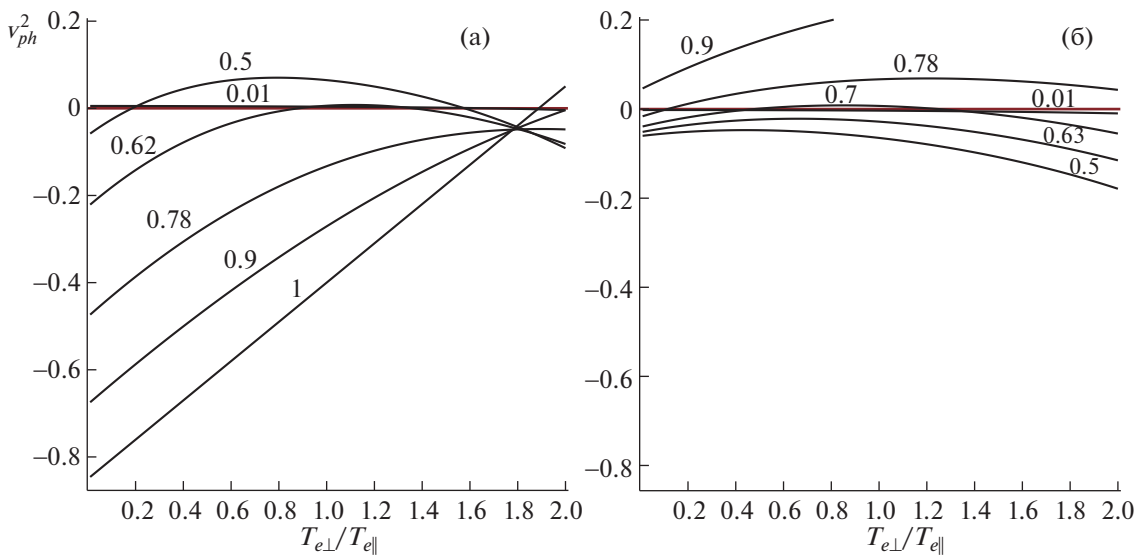
а  $l_c \leq 1$  не выполняется.

### 5.3. Неустойчивости неизотермической анизотропной плазмы

Анализ критерия возникновения неустойчивостей показал, что влияние степени неизотермичности плазмы  $\psi^2 = T_{i\parallel}/T_{e\parallel}$  и степени анизотропности электронной компоненты  $\phi_e = T_{e\perp}/T_{e\parallel}$  являются существенными. В условиях слабо-столкновительной космической плазмы эти параметры существенно отличаются от единицы. Например, в плазме солнечного ветра вблизи орбиты Земли в зависимости от плазменного бета  $\beta_p = 2/\beta_i$  параметры анизотропии  $\phi_e$  и  $\phi_i$  имеют



**Рис. 6.** Зависимость условий возникновения неустойчивости ( $v_{ph}^2 < 0$ ) неізотермической плазмы ( $\psi \neq 1$ ) от степени анизотропии электронного компонента  $\phi_e$ . В условиях плазмы медленного солнечного ветра  $\psi = 0.48$ : (а) случай  $\beta_i + \phi_i < 1$  (выбраны  $\beta_i = 0.1$ ,  $\phi_i = 0.5$ ); (б) случай  $\beta_i + \phi_i > 1$  (выбраны  $\beta_i = 0.1$ ,  $\phi_i = 1.5$ ). На кривых указаны значения параметра угла распространения волн  $l = \cos^2 \theta$ .



**Рис. 7.** Зависимость условий возникновения неустойчивости ( $v_{ph}^2 < 0$ ) неізотермической плазмы ( $\psi \neq 1$ ) от степени анизотропии электронного компонента  $\phi_e$ . В условиях плазмы ускоренного солнечного ветра  $\psi = 1.49$ : (а) случай  $\beta_i + \phi_i < 1$  (выбраны  $\beta_i = 0.1$ ,  $\phi_i = 0.5$ ); (б) случай  $\beta_i + \phi_i > 1$  (выбраны  $\beta_i = 0.1$ ,  $\phi_i = 1.5$ ). На кривых указаны значения параметра угла распространения волн  $l = \cos^2 \theta$ .

большой диапазон значений [11, 12]. Эти параметры отличаются для медленного и быстрого компонентов ветра, так как эти компоненты генерируются в различных физических условиях в атмосфере Солнца. На рис. 6 и 7 приведены примеры влияния этих параметров на условия возникновения неустойчивости. В приведенных

примерах доминирующими являются моды с большими  $l$ , т. е. вторая шланговая неустойчивость. До узловой точки с ростом  $\phi_e$  неустойчивость подавляется, а после этой точки наоборот, с ростом  $\phi_e$  неустойчивость усиливается. Узловая точка определяется условием  $b = 0$  в (43). Во всех

случаях переход от условия  $\varphi_i < 1$  к  $\varphi_i > 1$  ослабевает неустойчивость.

## 6. ЗАКЛЮЧЕНИЕ

В предыдущих теоретических исследованиях МГД-неустойчивостей в анизотропной плазме, в основном как в ЧГЛ-, так и в 16-моментных приближениях роль электронов игнорировалась. Она сводилась только к обеспечению квазинейтральности плазмы. Однако в реальных космических условиях наблюдаемая плазма существенно не изотермична ( $T_e \neq T_i$ ) и анизотропна ( $T_{\perp} \neq T_{\parallel}$ ) как для ионных, так и для электронных составляющих. Наша основная цель состояла в выяснении влияния присутствия электронного компонента на условия возникновения известных типов МГД-неустойчивостей в анизотропной плазме. Для этого мы использовали 16-моментные МГД-уравнения переноса с учетом теплового потока в многокомпонентной би-максвелловской плазме. Показано, что учет электронов вводит в задачу новые параметры, связанные с не изотермичностью плазмы, анизотропностью электронного компонента и тепловым потоком за счет электронов. Для простоты, без учета тепловых потоков подробно изучалась роль электронного компонента для возникновения шланговых и зеркальных неустойчивостей. Оказалось, что в реально наблюдаемых областях параметров игнорировать электронную компоненту невозможно. Как критерии возникновения, так и степень неустойчивости существенно зависят от параметров  $\psi^2 = T_{i\parallel}/T_{e\parallel}$  и  $\varphi_e = T_{e\perp}/T_{e\parallel}$ .

В отсутствие теплового потока вдоль магнитного поля мы получили три вида МГД-неустойчивостей: несжимаемая параллельная шланговая, сжимаемая наклонная шланговая и сжимаемая зеркальная неустойчивость. Все неустойчивости имеют аperiодичный характер, т. е. реальная часть частоты колебаний равна нулю,  $\text{Re}(\omega) = 0$ . Это является, прежде всего, следствием игнорирования при выводе МГД-уравнений эффектов затухания Ландау. Кроме того, включение диссипативных эффектов (например, тепловых потоков, эффекты Холла и т. д.) будет стабилизировать неустойчивость, и неустойчивость станет колебательной. Главным недостатком полученных МГД-инкрементов неустойчивостей состоит в том, что эти инкременты являются линейными функциями волнового числа,  $\text{Im}(\omega) \sim k$ . Это означает, что при очень малых масштабах ( $k \rightarrow \infty$ ) получаются слишком большие инкременты неустойчивостей. Причина состоит в том, что используемые 16-моментные МГД-уравнения переноса справедливы при нулевом ларморовском радиусе.

Свойства рассматриваемых шланговых и зеркальных неустойчивостей хорошо известны из низкочастотной кинетической физики [13–16]. Влияние эффектов, связанных с конечностью ларморовского радиуса на пороги и инкременты кинетических неустойчивостей, а также их стабилизация широко обсуждается в литературе (см., например, [6, 17, 18]). Для длин волн порядка ионного ларморовского радиуса эффективная эластичность магнитных силовых линий существенно нарастает, что приводит к максимуму инкремента и к увеличению порога зеркальной неустойчивости [17]. При меньших длинах волны эффективное электрическое поле, действующее на ионы, уменьшается (из-за усреднения в результате ларморовского вращения). Это приводит к уменьшению инкремента в стороны коротких волн. В исследуемых случаях в основном предполагалось, что электроны изотропны и холодные. В более общем случае, когда электроны би-максвелловской плазмы не холодные и являются анизотропными, условия возникновения зеркальной неустойчивости существенно модифицируются [15, 19–23]. Было получено, что если электроны изотропны, то максимум инкремента зеркальной неустойчивости меньше, но с появлением анизотропии инкремент увеличивается. Влияние эффектов, связанных с конечностью ларморовского радиуса в присутствии анизотропных электронов рассматривались в работах [7, 24]. Получено, что эффекты ограничения развития неустойчивости конечностью ларморовских радиусов электронов и ионов существенно зависят от степени анизотропии температуры электронов.

Влияние конечности ларморовского радиуса на шланговую неустойчивость изучалось многими авторами (например, [6, 25–30]). Основным результатом заключается в том, что при малых масштабах колебаний неустойчивость ограничивается.

Учет эффектов конечности ларморовского радиуса и диссипативных эффектов в жидкостном описании замагниченной бесстолкновительной плазмы очень сложно. В простейшем случае, когда тепловые потоки вдоль магнитного поля не учитываются, и выполняются двойные адиабаты (ЧГЛ-уравнения), такая попытка для шланговых мод сделана в работе [31]. В этой работе стабилизация шланговой неустойчивости при коротких волнах достигается включением холловского затухания и учетом конечности ионного ларморовского радиуса. Исследование неустойчивости бесстолкновительной замагниченной плазмы в жидкостном описании в более общем случае, когда учитываются тепловые потоки, конечный ларморовский радиус [32] и слабые столкновения между частицами [33] является слишком громоздкой, но важной задачей.

Полученные результаты могут быть использованы для интерпретации наблюдаемой низкочастотной крупномасштабной турбулентности в плазме солнечного и звездных ветров.

Авторы выражают благодарность рецензенту за полезные замечания и рекомендации, которые были учтены при доработке рукописи. Данная работа выполнена при финансовой поддержке Фонда развития науки при Президенте Азербайджанской Республики – Гранты № EIF-KETPL-2-2015-1(25)-56/11/1 и EIF-BGM-4-RFTF-1/2017-21/06/1 (совместный Российско-Азербайджанский грант).

### ПРИЛОЖЕНИЕ

Коэффициенты общего дисперсионного уравнения (29)

$$U_{12}x^{12} + U_{10}x^{10} + U_8x^8 + U_6x^6 + U_4x^4 + U_2x^2 + U_0 + \gamma_\alpha [U_9x^9 + U_7x^7 + U_5x^5 + U_3x^3 + U_1x] = 0$$

определяются следующим образом:

$$U_{12} = \psi^8 l, \quad U_{10} = \psi^8 l \varphi_i - 4\psi^6 l \kappa^2 - 6\psi^8 l - \psi^8 \beta_i - 2\psi^8 \varphi_i + \psi^6 l \varphi_e - 2\psi^6 l - 2\psi^6 \varphi_e, \quad (П1)$$

$$\gamma_\alpha U_9 = -4\psi^8 \gamma_i l - 4\psi^5 \gamma_e l \kappa,$$

$$U_8 = 2\psi^8 l \varphi_i^2 - 4\psi^6 l \varphi_i \kappa^2 - 7\psi^8 l \varphi_i - 2\psi^8 \varphi_i^2 + 3\psi^4 l \kappa^4 + 24\psi^6 l \kappa^2 + \psi^4 l \varphi_e^2 \kappa^2 + 4\psi^6 \beta_i \kappa^2 + 8\psi^6 \varphi_i \kappa^2 + 2\psi^8 l + 2\psi^6 l \varphi_e \varphi_i + 7\psi^8 \beta_i + 14\psi^8 \varphi_i - 4\psi^4 l \varphi_e \kappa^2 - \psi^4 \varphi_e^2 \kappa^2 - 7\psi^6 l \varphi_e - 3\psi^6 l \varphi_i - 2\psi^6 \varphi_e \varphi_i + 2\psi^4 l \kappa^2 + 8\psi^4 \varphi_e \kappa^2 + 2\psi^6 l + \psi^4 l \varphi_e^2 + 3\psi^6 \beta_i + 14\psi^6 \varphi_e + 6\psi^6 \varphi_i - 3\psi^4 l \varphi_e - \psi^4 \varphi_e^2 - 3\psi^4 l + 6\psi^4 \varphi_e, \quad (П2)$$

$$\gamma_\alpha U_7 = -4\psi^5 \gamma_e l \varphi_i \kappa - 4\psi^5 \gamma_e \varphi_e \varphi_i \kappa + 4\psi^3 \gamma_e l \varphi_e^2 \kappa - 4\psi^3 \gamma_e l \varphi_e \kappa + \psi^6 \gamma_i l \varphi_e \varphi_i - 4\psi^6 \gamma_i l \varphi_e - 4\psi^6 \gamma_i \varphi_e \varphi_i - 4\psi^8 \gamma_i l \varphi_i + 4\psi^8 \gamma_i l \varphi_i^2 + 4\psi^8 \beta_i \gamma_i - 4\psi^6 \gamma_i l + 8\psi^6 \gamma_i \varphi_e + 8\psi^8 \gamma_i \varphi_i - 4\psi^8 \gamma_i \varphi_i^2 - 4\psi^3 \gamma_e \varphi_e^2 \kappa - 4\psi^3 \gamma_e l \kappa + 8\psi^3 \gamma_e \varphi_e \kappa + 12\psi^5 \gamma_e l \kappa + 8\psi^5 \gamma_e \varphi_i \kappa + 16\psi^6 \gamma_i l \kappa^2 + 4\psi^5 \beta_i \gamma_e \kappa + 4\psi^3 \gamma_e l \kappa^3 + 4\psi^5 \gamma_e l \varphi_e \varphi_i \kappa, \quad (П3)$$

$$U_6 = -8\psi^5 \gamma_e \gamma_i \varphi_e \varphi_i \kappa + 7\psi^2 \varphi_e^2 \kappa^2 + 6\psi^2 l \kappa^2 - 12\psi^2 \varphi_e \kappa^2 - 3\psi^6 l \varphi_i^2 - 4\psi^8 \gamma_i^2 \varphi_i^2 - 6\psi^4 \beta_i \kappa^2 + 8\psi^6 \varphi_i^2 \kappa^2 - 12\psi^4 \varphi_i \kappa^2 + 3\psi^4 l \varphi_i \kappa^4 - 3\psi^2 l \varphi_e^2 \kappa^4 +$$

$$+ 3\psi^2 l \varphi_e \kappa^4 + 9\psi^6 l \varphi_e + 9\psi^8 l \varphi_i - 8\psi^6 l \kappa^2 + 8\psi^6 \varphi_e \varphi_i + 12\psi^6 l \varphi_i + 12\psi^4 l \varphi_e - 4\psi^4 l \varphi_e^2 - 10\psi^8 l \varphi_i^2 + 7\psi^4 \varphi_e^2 \kappa^2 - 28\psi^6 \beta_i \kappa^2 - 56\psi^6 \varphi_i \kappa^2 - 56\psi^4 \varphi_e \kappa^2 + 10\psi^4 l \kappa^2 + 12\psi^4 l + 3\psi^6 \varphi_i^2 - 24\psi^4 \varphi_e + 10\psi^8 \varphi_i^2 - 12\psi^6 \beta_i + 4\psi^4 \varphi_e^2 - 24\psi^6 \varphi_i + 12\psi^6 l - 18\psi^8 \varphi_i - 9\psi^8 \beta_i - 18\psi^6 \varphi_e + 6\psi^8 l + 4\psi^8 \gamma_i^2 l \varphi_i^2 - 4\psi^2 \gamma_e^2 \varphi_e^2 \kappa^2 + 6\psi^2 l \varphi_e \kappa^2 + 6\psi^4 l \varphi_i \kappa^2 + 8\psi^4 \varphi_e \varphi_i \kappa^2 - 7\psi^2 l \varphi_e^2 \kappa^2 - 8\psi^6 l \varphi_i^2 \kappa^2 - 8\psi^6 l \varphi_e \varphi_i + 28\psi^4 l \varphi_e \kappa^2 - 7\psi^4 l \varphi_e^2 \kappa^2 + 28\psi^6 l \varphi_i \kappa^2 - 8\psi^4 l \varphi_e \varphi_i \kappa^2 + 4\psi^2 \gamma_e^2 l \varphi_e^2 \kappa^2 - 3\psi^4 \beta_i \kappa^4 + 3\psi^2 \varphi_e^2 \kappa^4 - 18\psi^4 l \kappa^4 - 6\psi^4 \varphi_i \kappa^4 - 6\psi^2 \varphi_e \kappa^4 + 8\psi^5 \gamma_e \gamma_i l \varphi_e \varphi_i \kappa, \quad (П4)$$

$$\gamma_\alpha U_5 = -16\psi^5 \gamma_e l \varphi_e \varphi_i \kappa - 8\psi^3 \gamma_e l \varphi_e \varphi_i \kappa^3 - 16\psi^4 \gamma_i l \varphi_e \varphi_i \kappa^2 + 4\psi^8 \gamma_i l - 4\psi^8 \beta_i \gamma_i + 4\psi^6 \gamma_i l - 8\psi^6 \gamma_i \varphi_e - 8\psi^8 \gamma_i \varphi_i + 12\psi^8 \gamma_i \varphi_i^2 + 4\psi \gamma_e l \kappa^3 - 8\psi \gamma_e \varphi_e \kappa^3 - 32\psi^4 \gamma_i \varphi_e \kappa^2 + 16\psi^4 \gamma_i l \kappa^2 + 16\psi^6 \gamma_i \varphi_i^2 \kappa^2 - 32\psi^6 \gamma_i \varphi_i \kappa^2 - 4\psi^3 \beta_i \gamma_e \kappa^3 + 4\psi^4 \gamma_i \varphi_e^2 \kappa^2 + 4\psi^5 \gamma_e \varphi_i^2 \kappa - 16\psi^6 \beta_i \gamma_i \kappa^2 - 8\psi^3 \gamma_e \varphi_i \kappa^3 - 12\psi^4 \gamma_i l \kappa^4 + 12\psi \gamma_e \varphi_e^2 \kappa^3 + 4\psi^6 \gamma_i l \varphi_e + 8\psi^6 \gamma_i \varphi_e \varphi_i + 4\psi^8 \gamma_i l \varphi_i - 12\psi^8 \gamma_i l \varphi_i^2 + 16\psi^3 \gamma_e \varphi_e^2 \kappa + 16\psi^3 \gamma_e l \kappa - 32\psi^3 \gamma_e \varphi_e \kappa - 32\psi^5 \gamma_e \varphi_i \kappa - 16\psi^5 \beta_i \gamma_e \kappa - 12\psi^3 \gamma_e l \kappa^3 +$$

$$+ 4\psi^5 \gamma_e l \kappa + 16\psi^6 \gamma_i l \varphi_i \kappa^2 - 16\psi^6 \gamma_i l \varphi_i^2 \kappa^2 - 4\psi^4 \gamma_i l \varphi_e^2 \kappa^2 + 4\psi^3 \gamma_e l \varphi_i \kappa^3 + 8\psi^3 \gamma_e \varphi_e \varphi_i \kappa^3 + 16\psi^4 \gamma_i l \varphi_e \kappa^2 + 16\psi^4 \gamma_i \varphi_e \varphi_i \kappa^2 + 4\psi \gamma_e l \varphi_e \kappa^3 - 12\psi \gamma_e l \varphi_e^2 \kappa^3 + 16\psi^5 \gamma_e l \varphi_i \kappa + 16\psi^5 \gamma_e \varphi_e \varphi_i \kappa - 16\psi^3 \gamma_e l \varphi_e^2 \kappa + 16\psi^3 \gamma_e l \varphi_e \kappa - 8\psi^6 \gamma_i l \varphi_e \varphi_i - 4\psi^5 \gamma_e l \varphi_i^2 \kappa,$$

$$U_4 = -6\psi^4 \varphi_i^2 \kappa^2 + 16\psi^5 \gamma_e \gamma_i \varphi_e \varphi_i \kappa + 16\psi^3 \gamma_e \gamma_i \varphi_e \varphi_i \kappa^3 - 28\psi^2 \varphi_e^2 \kappa^2 - 24\psi^2 l \kappa^2 + 48\psi^2 \varphi_e \kappa^2 + 9\psi^6 l \varphi_i^2 + 24\psi^4 \beta_i \kappa^2 -$$

$$\begin{aligned}
& -40\psi^6\varphi_i^2\kappa^2 + 48\psi^4\varphi_i\kappa^2 - 21\psi^4/\varphi_i\kappa^4 + \\
& + 21\psi^2/\varphi_e^2\kappa^4 - 21\psi^2/\varphi_e\kappa^4 - 3\psi^2/\varphi_i\kappa^4 - \\
& - 3\psi^6/\varphi_e - 3\psi^8/\varphi_i - 24\psi^6/\kappa^2 - 6\psi^6\varphi_e\varphi_i - \\
& - 9\psi^6/\varphi_i - 9\psi^4/\varphi_e + 3\psi^4/\varphi_e^2 + 6\psi^8/\varphi_i^2 - \\
& - 9\psi^4\varphi_e^2\kappa^2 + 36\psi^6\beta_i\kappa^2 + 72\psi^6\varphi_i\kappa^2 + \\
& + 72\psi^4\varphi_e\kappa^2 - 42\psi^4/\kappa^2 + 6\psi^4/\varphi_i^2\kappa^4 - \\
& - 6\psi^2\varphi_e\varphi_i\kappa^4 - 9\psi^4/\varphi_e + 6\psi^2/\varphi_e\varphi_i\kappa^4 - 9\psi^6\varphi_i^2 + \\
& + 18\psi^4\varphi_e - 6\psi^8\varphi_i^2 + 9\psi^6\beta_i - 3\psi^4\varphi_e^2 + 18\psi^6\varphi_i - \quad (\text{П6}) \\
& - 12\psi^6/\varphi_e + 6\psi^8\varphi_i + 3\psi^8\beta_i + 6\psi^6\varphi_e - 3\psi^8/\varphi_e + \\
& + 6\psi^4/\varphi_i^2\kappa^2 + 16\psi^6\gamma_i^2\varphi_i^2\kappa^2 + 16\psi^2\gamma_e^2\varphi_e^2\kappa^2 - \\
& - 24\psi^2/\varphi_e\kappa^2 - 24\psi^4/\varphi_i\kappa^2 - 32\psi^4\varphi_e\varphi_i\kappa^2 + \\
& + 28\psi^2/\varphi_e^2\kappa^2 + 40\psi^6/\varphi_i^2\kappa^2 + 6\psi^6/\varphi_e\varphi_i - \\
& - 36\psi^4/\varphi_e\kappa^2 + 9\psi^4/\varphi_e^2\kappa^2 - 36\psi^6/\varphi_i\kappa^2 - \\
& - 16\psi^6\gamma_i^2/\varphi_i^2\kappa^2 + 32\psi^4/\varphi_e\varphi_i\kappa^2 - 16\psi^2\gamma_e^2/\varphi_e^2\kappa^2 + \\
& + 6/\varphi_e^2\kappa^4 - 3/\varphi_e\kappa^4 + 21\psi^4\beta_i\kappa^4 - 21\psi^2\varphi_e^2\kappa^4 + \\
& + 6\psi^4/\kappa^4 + 42\psi^4\varphi_i\kappa^4 + 42\psi^2\varphi_e\kappa^4 - 12/\psi^2\kappa^4 + \\
& + 6\varphi_i\psi^2\kappa^4 + 3\beta_i\psi^2\kappa^4 - 6\psi^4\varphi_i^2\kappa^4 - 6\varphi_e^2\kappa^4 - 3/\kappa^4 + \\
& + 6\varphi_e\kappa^4 - 16\psi^5\gamma_e\gamma_i/\varphi_e\varphi_i\kappa - 16\psi^3\gamma_e\gamma_i/\varphi_e\varphi_i\kappa^3, \\
& \gamma_\alpha U_3 = 12\psi^4\gamma_i/\varphi_i^2\kappa^4 + 48\psi^6\gamma_i/\varphi_i^2\kappa^2 - \\
& - 12\psi^4\gamma_i/\varphi_i\kappa^4 - 12\psi^4\gamma_i\varphi_i^2\kappa^4 - 16\psi^6\gamma_i/\varphi_i\kappa^2 - \\
& - 48\psi^6\gamma_i\varphi_i^2\kappa^2 + 12\psi^2\gamma_i/\varphi_e^2\kappa^4 + 12\psi^2\gamma_i/\varphi_e\varphi_i\kappa^4 + \\
& + 12\psi^4\beta_i\gamma_i\kappa^4 + 24\psi^4\gamma_i\varphi_i\kappa^4 + 32\psi^3\gamma_e/\varphi_e\varphi_i\kappa^3 + \\
& + 4\psi^3\gamma_e/\varphi_i^2\kappa^3 - 16\psi^6\gamma_i/\kappa^2 + 4\psi^4\gamma_i/\varphi_e^2\kappa^2 + \\
& + 32\psi^4\gamma_i/\varphi_e\varphi_i\kappa^2 + 16\psi^6\beta_i\gamma_i\kappa^2 + 32\psi^6\gamma_i\varphi_i\kappa^2 + \\
& + 12\psi^5\gamma_e/\varphi_e\varphi_i\kappa + 12\psi^5\gamma_e/\varphi_i^2\kappa - 12\psi^2\gamma_i/\varphi_e\kappa^4 - \\
& - 12\psi^2\gamma_i\varphi_e^2\kappa^4 - 12\psi^2\gamma_i\varphi_e\varphi_i\kappa^4 - 16\psi^3\gamma_e/\varphi_i\kappa^3 - \\
& - 32\psi^3\gamma_e\varphi_e\varphi_i\kappa^3 - 4\psi^3\gamma_e\varphi_i^2\kappa^3 - 16\psi^4\gamma_i/\varphi_e\kappa^2 - \quad (\text{П7}) \\
& - 4\psi^4\gamma_i\varphi_e^2\kappa^2 - 32\psi^4\gamma_i\varphi_e\varphi_i\kappa^2 - 12\psi^5\gamma_e/\varphi_i\kappa - \\
& - 12\psi^5\gamma_e\varphi_e\varphi_i\kappa - 12\psi^5\gamma_e\varphi_i^2\kappa - 12\psi^2\gamma_i/\kappa^4 + \\
& + 24\psi^2\gamma_i\varphi_e\kappa^4 - 4\psi^3\gamma_e/\kappa^3 + 48\psi\gamma_e/\varphi_e^2\kappa^3 + \\
& + 16\psi^3\beta_i\gamma_e\kappa^3 + 32\psi^3\gamma_e\varphi_i\kappa^3 - 16\psi^4\gamma_i/\kappa^2 + \\
& + 32\psi^4\gamma_i\varphi_e\kappa^2 - 12\psi^5\gamma_e/\kappa + 12\psi^3\gamma_e/\varphi_e^2\kappa + \\
& + 12\psi^5\beta_i\gamma_e\kappa + 24\psi^5\gamma_e\varphi_i\kappa - 16\psi\gamma_e/\varphi_e\kappa^3 - \\
& - 48\psi\gamma_e\varphi_e^2\kappa^3 - 12\psi^3\gamma_e/\varphi_e\kappa - 12\psi^3\gamma_e\varphi_e^2\kappa - \\
& - 16\psi\gamma_e/\kappa^3 + 32\psi\gamma_e\varphi_e\kappa^3 - 12\psi^3\gamma_e/\kappa + 24\psi^3\gamma_e\varphi_e\kappa,
\end{aligned}$$

$$\begin{aligned}
U_2 = & 12\psi^4\gamma_i/\varphi_i^2\kappa^4 - 12\psi^4\gamma_i\varphi_i^2\kappa^4 - 30\psi^4/\varphi_i^2\kappa^4 + \\
& + 24\psi^3\gamma_e\gamma_i/\varphi_e\varphi_i\kappa^3 - 24\psi^6/\varphi_i^2\kappa^2 + 27\psi^4/\varphi_i\kappa^4 + \\
& + 30\psi^4\varphi_i^2\kappa^4 - 24\psi^3\gamma_e\gamma_i\varphi_e\varphi_i\kappa^3 + 12\psi^6/\varphi_i\kappa^2 + \\
& + 24\psi^6\varphi_i^2\kappa^2 + 18\psi^4/\kappa^4 - 27\psi^2/\varphi_e^2\kappa^4 - \\
& - 24\psi^2/\varphi_e\varphi_i\kappa^4 - 3\psi^2/\varphi_i^2\kappa^4 - 27\psi^4\beta_i\kappa^4 - \\
& - 54\psi^4\varphi_i\kappa^4 + 12\psi^6/\kappa^2 - 3\psi^4/\varphi_e^2\kappa^2 - \\
& - 24\psi^4/\varphi_e\varphi_i\kappa^2 - 18\psi^4/\varphi_i^2\kappa^2 + 12\psi^2\gamma_e^2/\varphi_e^2\kappa^2 - \\
& - 12\psi^6\beta_i\kappa^2 - 24\psi^6\varphi_i\kappa^2 + 27\psi^2/\varphi_e\kappa^4 + \\
& + 12\psi^2/\varphi_i\kappa^4 + 27\psi^2\varphi_e^2\kappa^4 + 24\psi^2\varphi_e\varphi_i\kappa^4 + \quad (\text{П8}) \\
& + 3\psi^2\varphi_i^2\kappa^4 + 12\psi^4/\varphi_e\kappa^2 + 18\psi^4/\varphi_i\kappa^2 + \\
& + 3\psi^4\varphi_e^2\kappa^2 + 24\psi^4\varphi_e\varphi_i\kappa^2 + 18\psi^4\varphi_i^2\kappa^2 - \\
& - 12\psi^2\gamma_e^2\varphi_e^2\kappa^2 + 30/\psi^2\kappa^4 - 24/\varphi_e^2\kappa^4 - \\
& - 12\beta_i\psi^2\kappa^4 - 54\psi^2\varphi_e\kappa^4 - 24\varphi_i\psi^2\kappa^4 + \\
& + 30\psi^4/\kappa^2 - 21\psi^2/\varphi_e^2\kappa^2 - 18\psi^4\beta_i\kappa^2 - \\
& - 24\psi^4\varphi_e\kappa^2 - 36\psi^4\varphi_i\kappa^2 + 12/\varphi_e\kappa^4 + 24\varphi_e^2\kappa^4 + \\
& + 18\psi^2/\varphi_e\kappa^2 + 21\psi^2\varphi_e^2\kappa^2 + 12/\kappa^4 - 24\varphi_e\kappa^4 + \\
& + 18\psi^2/\kappa^2 - 36\psi^2\varphi_e\kappa^2, \\
& \gamma_\alpha U_1 = -36\psi^4\gamma_i/\varphi_i^2\kappa^4 + 12\psi^4\gamma_i/\varphi_i\kappa^4 + \\
& + 36\psi^4\gamma_i\varphi_i^2\kappa^4 + 12\psi^4\gamma_i/\kappa^4 - 12\psi^2\gamma_i/\varphi_e^2\kappa^4 - \\
& - 24\psi^2\gamma_i/\varphi_e\varphi_i\kappa^4 - 12\psi^4\beta_i\gamma_i\kappa^4 - 24\psi^4\gamma_i\varphi_i\kappa^4 - \\
& - 24\psi^3\gamma_e/\varphi_e\varphi_i\kappa^3 - 12\psi^3\gamma_e/\varphi_i^2\kappa^3 + 12\psi^2\gamma_i/\varphi_e\kappa^4 + \\
& + 12\psi^2\gamma_i\varphi_e^2\kappa^4 + 24\psi^2\gamma_i\varphi_e\varphi_i\kappa^4 + 12\psi^3\gamma_e/\varphi_i\kappa^3 + \quad (\text{П9}) \\
& + 24\psi^3\gamma_e\varphi_e\varphi_i\kappa^3 + 12\psi^3\gamma_e\varphi_i^2\kappa^3 + 12\psi^2\gamma_i/\kappa^4 - \\
& - 24\psi^2\gamma_i\varphi_e\kappa^4 + 12\psi^3\gamma_e/\kappa^3 - 36\psi\gamma_e/\varphi_e^2\kappa^3 - \\
& - 12\psi^3\beta_i\gamma_e\kappa^3 - 24\psi^3\gamma_e\varphi_i\kappa^3 + 12\psi\gamma_e/\varphi_e\kappa^3 + \\
& + 36\psi\gamma_e\varphi_e^2\kappa^3 + 12\psi\gamma_e/\kappa^3 - 24\psi\gamma_e\varphi_e\kappa^3, \\
& U_0 = 18\psi^4/\varphi_i^2\kappa^4 - 9\psi^4/\varphi_i\kappa^4 - 18\psi^4\varphi_i^2\kappa^4 - \\
& - 9\psi^4/\kappa^4 + 9\psi^2/\varphi_e^2\kappa^4 + 18\psi^2/\varphi_e\varphi_i\kappa^4 + \\
& + 9\psi^2/\varphi_i^2\kappa^4 + 9\psi^4\beta_i\kappa^4 + 18\psi^4\varphi_i\kappa^4 - 9\psi^2/\varphi_e\kappa^4 - \\
& - 9\psi^2/\varphi_i\kappa^4 - 9\psi^2\varphi_e^2\kappa^4 - 18\psi^2\varphi_e\varphi_i\kappa^4 - \quad (\text{П10}) \\
& - 9\psi^2\varphi_i^2\kappa^4 - 18/\psi^2\kappa^4 + 18/\varphi_e^2\kappa^4 + 9\beta_i\psi^2\kappa^4 + \\
& + 18\psi^2\varphi_e\kappa^4 + 18\varphi_i\psi^2\kappa^4 - 9/\varphi_e\kappa^4 - \\
& - 18\varphi_e^2\kappa^4 - 9/\kappa^4 + 18\varphi_e\kappa^4.
\end{aligned}$$

Дисперсионное уравнение для однокомпонентной ионной плазмы (30) получается из этого уравнения при  $\psi \rightarrow \infty$ :

$$C_8 x^8 + C_6 x^6 + C_4 x^4 + C_2 x^2 + C_0 + \gamma_i [C_5 x^5 + C_3 x^3 + C_1 x] = 0 \quad (\text{П11})$$

$$C_8 = l, \quad C_6 = \varphi_i l - 2\varphi_i - \beta_i - 6l, \quad \gamma_i C_5 = -4\gamma_i l,$$

$$C_4 = 2\varphi_i^2 l - 2\varphi_i^2 - 7\varphi_i l + 14\varphi_i + 7\beta_i + 2l,$$

$$\gamma_i C_3 = 4\gamma_i \varphi_i^2 l - 4\gamma_i \varphi_i^2 - 4\gamma_i \varphi_i l + 8\gamma_i \varphi_i + 4\gamma_i \beta_i,$$

$$C_2 = 4\gamma_i^2 \varphi_i^2 l - 4\gamma_i^2 \varphi_i^2 - 10\varphi_i^2 l + 10\varphi_i^2 + 9\varphi_i l - 18\varphi_i - 9\beta_i + 6l,$$

$$\gamma_i C_1 = -12\gamma_i \varphi_i^2 l + 12\gamma_i \varphi_i^2 + 4\gamma_i \varphi_i l - 8\gamma_i \varphi_i - 4\gamma_i \beta_i + 4\gamma_i l,$$

$$C_0 = 6\varphi_i^2 l - 6\varphi_i^2 - 3\varphi_i l + 6\varphi_i + 3\beta_i - 3l.$$

#### СПИСОК ЛИТЕРАТУРЫ

1. Chew G.F., Goldberger M.L., Low F.E. // Proc. Roy. Soc. London. 1956. V. A236. P. 112.
2. Oraevskii V.N., Konikov Y.V., Chazanov G.V. Transport processes in anisotropic near-Earth plasma. M.: Nauka, 1985.
3. Ramos J.J. // Physics of Plasmas. 2003. V. 10. P. 3601.
4. Dzhililov N.S., Kuznetsov V.D., Staude J. // Contrib. Plasma Phys. 2011. V. 51. P. 621.
5. Dzhililov N.S., Kuznetsov V.D. // Plasma Phys. Rep. 2013. V. 39. P. 1026.
6. Hall A.N. // J. Plasma Phys. 1979. V. 21. P. 431.
7. Kuznetsov E.A., Passot T., Sulem P.L. // Phys. Plasmas. 2012. V. 19. P. 090701.
8. Kuznetsov V.D., Dzhililov N.S. // Geomagnetism Aeronomy. 2014. V. 54. P. 886.
9. Dzhililov N.S., Kuznetsov V.D., Staude J. // Astron. Astrophys. 2008. V. 489. P. 769.
10. Dzhililov N.S., Huseynov S.Sh. // Azarbaijan Astronomical J. 2016. N. 1. P. 1.
11. Travnicek P., Stverak S., Maksimovic M. // J. Geophys. Res. 2008. V. 113. P. A03103.
12. Hellinger P., Travnicek P., Kasper J.C. // Geophys. Res. Lett. 2006. V. 33. P. L09101.
13. Rudakov L.I., Sagdeev R.Z. // Plasma Physics and the Problem of Controlled Thermonuclear Reactions. V. 3. N. Y.: Pergamon, 1958. P. 321.
14. Chandrasekhar S.A., Kaufman A.N., Watson K.M. // Proc. R. Soc. London. 1958. Ser. A. V. 245. P. 435.
15. Stix T.H. The Theory of Plasma Waves. N. Y.: McGraw-Hill, 1962.
16. Barnes A. // Phys. Fluids. 1966. V. 9. P. 1483.
17. Pokhotelov O.A., Sagdeev R.Z., Balikhin M.A., Treumann R.A. // J. Geophys. Res. 2004. V. 109. P. A09213.
18. Califano C., Hellinger P., Kuznetsov E., Passot T., Sulem P.L., Tra'vniccek P.M. // J. Geophys. Res. 2008. V. 113. P. A08219.
19. Pantellini F.G.E., Schwartz S.J. // J. Geophys. Res. 1995. V. 100. P. 3539.
20. Ge'not V., Schwartz S.J., Mazelle C., Balikhin M., Dunlop M., Bauer T.M. // J. Geophys. Res. 2001. V. 106. P. 21611.
21. Pokhotelov O.A., Balikhin M.A., Alleyne H. St-C.K., Onishchenko O.G. // J. Geophys. Res. 2000. V. 105. P. 2393.
22. Gary S.P., Karimabadi H. // J. Geophys. Res. 2006. V. 111. P. A11224.
23. Hellinger P. // Phys. Plasmas. 2007. V. 14. P. 082105.
24. Istomin Y.N., Pokhotelov O.A., Balikhin M.A. // Phys. Plasmas. 2009. V. 16. P. 122901.
25. Davidson R.C., Völk H.J. // Phys. Fluids. 1968. V. 11. P. 2259.
26. Achterberg A. // Monthly Notices Roy. Soc. 2013. V. 436. P. 705.
27. Hollweg J.V., Völk H.J. // J. Geophys. Res. 1970. V. 75. P. 5297.
28. Gary S.P., Madland C.D. // J. Geophys. Res. 1985. V. 90. P. 7607.
29. Yoon P.H., Wu C.S., de Assis A.S. // Phys. Fluids B. 1993. V. 5. P. 1971.
30. Li X., Habbal S.R. // J. Geophys. Res. 2000. V. A105. P. 27377.
31. Hunana P., Zank G. P. // Astrophys. J. 2017. V. 839. P. 13.
32. Ramos J. J. // Phys. Plasmas. 2005. V. 12. P. 052102.
33. Ramos J.J. // Phys. Plasmas. 2007. V. 14. P. 052506.